

$^{75}\text{As}(\mathbf{n},\gamma)$  E=thermal    1990Ho10

Type	Author	History	Citation	Literature Cutoff Date
Full Evaluation	Balraj Singh, Jun Chen and Ameenah R. Farhan		NDS 194,3 (2024)	8-Jan-2024

Measured  $E\gamma$ ,  $I\gamma$ ,  $\gamma\gamma$ -coin, ce. Curved-crystal spectrometer used for low-energy  $\gamma$  rays, and BILL magnetic spectrometer for conversion electrons.

Others:

[1968Jo11](#): measured  $E\gamma$ ,  $I\gamma$ ,  $\gamma\gamma$ -coin. Deduced detailed level scheme.

[1974Co23](#): statistical description of spectra.

[1969Gr09](#), [1968Mo01](#), [1968Cr11](#), [1967Si10](#), [1966Be20](#), [1965Cr08](#), [1953Ba76](#): measured  $\gamma$  spectra.

[1968He15](#): measured  $T_{1/2}$ .

[1965Wh01](#): measured  $E\gamma$  with a bent-crystal spectrometer.

[Additional information 1](#).

 $^{76}\text{As}$  Levels

E(level) <sup>†</sup>	J <sup>‡</sup>	T <sub>1/2</sub>	Comments
0.0	2 <sup>-</sup>		
44.4254 7	(1) <sup>+</sup>	1.93 $\mu\text{s}$ 6	$T_{1/2}$ : from $\gamma\gamma(t)$ ( <a href="#">1968He15</a> ).
86.7875 7	1 <sup>+</sup>		
120.2581 7	1 <sup>+</sup>		
122.2479 9	(1) <sup>-</sup>		
165.0484 7	(3) <sup>-</sup>		
203.5420 12	(0,1) <sup>+</sup>		$J^\pi$ : 0 <sup>+</sup> ( <a href="#">1990Ho10</a> ).
211.1462 10	(4) <sup>-</sup>		
264.8065 9	1 <sup>+</sup>		
280.3021 11	(1,2) <sup>+</sup>		
286.0181 13	(3,4) <sup>-</sup>		
292.5580 18	(2,3,4) <sup>-</sup>		
300.4601 8	(2,3 <sup>+</sup> )		$J^\pi$ : 2 <sup>-</sup> ( <a href="#">1990Ho10</a> ).
308.3197 7	(2) <sup>+</sup>		
328.4784 14	(3,4) <sup>-</sup>		
352.3617 20	(3) <sup>-</sup>		
363.9060 10	(2 <sup>-</sup> )		$J^\pi$ : 2 <sup>-</sup> ( <a href="#">1990Ho10</a> ).
366.2291 13	(2 <sup>-</sup> to 5 <sup>-</sup> )		$J^\pi$ : 3 <sup>-</sup> ,4,5 <sup>-</sup> ( <a href="#">1990Ho10</a> ).
377.3841 15	(2) <sup>-</sup>		$J^\pi$ : 3 <sup>-</sup> ,4 <sup>-</sup> ,5 <sup>-</sup> ( <a href="#">1990Ho10</a> ).
401.8324 12	(1,2) <sup>+</sup>		
436.8029 12	(1,2,3) <sup>-</sup>		
447.1702 17	(1,2) <sup>+</sup>		
457.3496 19	(2 <sup>-</sup> ,3 <sup>+</sup> )		
471.0004 9	(2) <sup>-</sup>		
479.2961 19	(2,3,4) <sup>-</sup>		$J^\pi$ : 2 <sup>-</sup> ,3 <sup>-</sup> ,4 <sup>-</sup> ( <a href="#">1990Ho10</a> ).
499.5801 20	(1 <sup>+</sup> ,2 <sup>+</sup> )		
505.2046 19	(2,3) <sup>+</sup>		
508.6881 13	(2,3,4) <sup>-</sup>		$J^\pi$ : 3 <sup>-</sup> ,4 <sup>-</sup> ,5 <sup>-</sup> ( <a href="#">1990Ho10</a> ).
517.5784 12	(1 <sup>+</sup> ,2 <sup>+</sup> )		
519.6077 16	(1 <sup>-</sup> ,2,3 <sup>+</sup> )		
544.0231 23	(2) <sup>-</sup>		$J^\pi$ : 1 <sup>-</sup> ,2 <sup>-</sup> ,3 <sup>+</sup> ( <a href="#">1990Ho10</a> ).
550.4350 23	(1 <sup>-</sup> ,2 <sup>-</sup> )		
600.2 3	( $\leq$ 3)		
609.970 4	(3 <sup>+</sup> )		$J^\pi$ : 3 <sup>+</sup> ( <a href="#">1990Ho10</a> ).
628.7452 13	(1 <sup>+</sup> ,2 <sup>+</sup> )		$J^\pi$ : 1 <sup>+</sup> ,2 <sup>+</sup> ( <a href="#">1990Ho10</a> ).
637.248 3	(1 <sup>+</sup> ,2 <sup>+</sup> )		
640.121 10	(1 <sup>-</sup> ,2 <sup>-</sup> )		
669.114 4	(1 <sup>+</sup> ,2 <sup>+</sup> )		
686.128 4	(1 <sup>-</sup> to 4)		$J^\pi$ : 2 <sup>-</sup> ,3 ( <a href="#">1990Ho10</a> ).
703.249 5	(1 <sup>-</sup> ,2 <sup>-</sup> ,3 <sup>+</sup> )		$J^\pi$ : 2 <sup>-</sup> ,3 ( <a href="#">1990Ho10</a> ).

Continued on next page (footnotes at end of table)

$^{75}\text{As}(n,\gamma)$  E=thermal    **1990Ho10 (continued)** $^{76}\text{As}$  Levels (continued)

E(level) <sup>†</sup>	J <sup>π</sup> <sup>‡</sup>	Comments
707.88 8	(≤3)	
715.8 9	(1,2,3) <sup>+</sup>	
727.76 5	(≤3)	
734.3902 16	(1,2) <sup>-</sup>	$J^\pi: 3^-, 4^-$ ( <a href="#">1990Ho10</a> ).
741.464 9	(≤3)	$J^\pi: 1^-, 2^-, 3$ ( <a href="#">1990Ho10</a> ).
744.945 4	(1 <sup>+</sup> ,2 <sup>+</sup> )	
756.5743 15	(0 <sup>+</sup> ,3 <sup>+</sup> )	
774.408 7	(3) <sup>+</sup>	$J^\pi: 0^+, 3^+$ ( <a href="#">1990Ho10</a> ).
785.833 5	(≤3 <sup>+</sup> )	$J^\pi: 1, 2^+$ ( <a href="#">1990Ho10</a> ).
793.570 3	(1,2,3) <sup>+</sup>	
802.452 10	(1 <sup>-</sup> ,2 <sup>-</sup> ,3 <sup>+</sup> )	
863.36 13	1 <sup>+</sup>	
893.811 8	(1 <sup>-</sup> ,2 <sup>-</sup> ,3 <sup>+</sup> )	
909.169 11	(1,2) <sup>+</sup>	
924.754 8	(≤3 <sup>-</sup> )	$J^\pi: 1^-, 2^-$ ( <a href="#">1990Ho10</a> ).
935.384 8	1 <sup>+</sup>	$J^\pi: 1^-$ ( <a href="#">1990Ho10</a> ).
939.750 5	(1,2,3)	
947.84 24	(≤3)	
958.394 4	(≤3)	$J^\pi: 2^-, 3$ ( <a href="#">1990Ho10</a> ).
964.1 3	(≤3)	
970.93 8	(≤3)	
985.545 12	(1,2,3) <sup>+</sup>	
1013.8? 6	(≤3 <sup>+</sup> )	
1023.12 4	(1 <sup>+</sup> ,2 <sup>+</sup> )	
1026.2? 6	(1 <sup>+</sup> ,2 <sup>+</sup> )	
1034.263 10	1 <sup>+</sup>	$J^\pi: 1^+, 2^+$ ( <a href="#">1990Ho10</a> ).
1064.492 7	1 <sup>+</sup>	
1089.9 5	(≤3)	
1097.24 5	1 <sup>+</sup>	
1105.43 4	(≤3)	
1124.92 6	(≤3)	
1148.34 6	(≤3)	
1156.50 14	1 <sup>+</sup>	
1185.70 4	(≤3)	
1201.91 20	(≤3)	
1244.64 19	(≤3)	
1260.04 23	(≤3)	
1269.01 3	(≤3 <sup>-</sup> )	
1300.97 3	(≤3)	
1309.32 17	(≤3)	
1314.50 12	(≤3)	
1322.15 7	(≤3)	
1341.84 4	(≤3)	
1352.31 8	1 <sup>+</sup>	
1358.37 7	(≤3)	
1369.3 4	(≤3)	
1385.53 14	(≤3)	
1397.28 14	(≤3)	
1404.0 3	(≤3)	
1422.25 13	(≤3)	
1443.78 5	(≤3)	
1450.83 9	(≤3)	
1458.85 9	(≤3)	
1473.59 20	1 <sup>+</sup>	
1477.7 4	(1 <sup>-</sup> ,2 <sup>-</sup> )	
1494.30 10	(≤3)	

Continued on next page (footnotes at end of table)

**$^{75}\text{As}(n,\gamma)$  E=thermal    1990Ho10 (continued)** **$^{76}\text{As}$  Levels (continued)**

E(level) <sup>†</sup>	J <sup>‡</sup>	Comments
1498.9 11	(≤3)	
1512.12 7	(≤3)	
1520.2 3	(≤3)	
1524.8 3	(≤3)	
1541.70 4	(≤3)	
1550.39 5	(≤3)	
1571.30 4	(2 <sup>-</sup> )	
1584.0 3	(≤3)	
1597.6 6	(≤3)	
1605.13 10	(≤3)	
1630.46 5	1 <sup>+</sup>	
1637.97 5	(≤3)	
1644.31 6	(≤3)	
1652.63 4	(≤3)	
1664.71 4	(≤3)	
1673.30 9	(≤3)	
1682.77 12	(≤3)	
1694.6 5	1 <sup>+</sup>	
1698.98 11	(≤3)	
1704.26 19	(≤3)	
1713.53 20	(1 <sup>-</sup> ,2 <sup>-</sup> )	
1715.6 7	1 <sup>+</sup>	
1727.15 10	(≤3)	
1748.30 5	(≤3)	
1759.53 7	(≤3)	
1782.47 13	(≤3)	
1787.96 23	(≤3)	
1794.58 4	1 <sup>+</sup>	
1801.50 18	(≤3)	
(7328.494 11)	1 <sup>-</sup> ,2 <sup>-</sup> <sup>#</sup>	E(level): systematic uncertainty of 0.08 keV is added in quadrature to the uncertainty of 0.07 keV from least squares fit. This value can be compared with S(n)=7328.50 keV 7 (2021Wa16).

<sup>†</sup> From least-squares fit to recoil-corrected E $\gamma$  values, by omitting 13 poorly fitted primary  $\gamma$  rays as indicated. Reduced  $\chi^2=2.5$  is somewhat greater than critical  $\chi^2=1.3$ , with only two  $\gamma$  rays deviating by 3-4  $\sigma$ . A systematic uncertainty of 0.001% in E $\gamma$  is quoted by 1990Ho10.

<sup>‡</sup> From Adopted Levels. Assignments from 1990Ho10 are given under comments when a disagreement is noted. For levels populated only by the primary transitions from 1<sup>-</sup>,2<sup>-</sup> capture states suggests J=0,1,2,3.

<sup>#</sup> From s-wave capture on  $^{75}\text{As}$  (g.s.  $J^\pi=3/2^-$ ).

<sup>75</sup>As(n, $\gamma$ ) E=thermal    1990Ho10 (continued)

$\gamma(^{76}\text{As})$									
$E_\gamma^{\dagger}$	$I_\gamma^{\ddagger}$	$E_i(\text{level})$	$J_i^\pi$	$E_f$	$J_f^\pi$	Mult. <sup>#</sup>	$\delta^{\#}$	$\alpha^i$	Comments
<sup>x</sup> 43.391 <i>e@</i> 8	<i>g@</i>								
44.425 <i>I</i>	20.9 <i>g</i> 23	44.4254	(1) <sup>+</sup>	0.0	2 <sup>-</sup>	(E1)		0.821	$\alpha(K)=0.729$ 11; $\alpha(L)=0.0788$ 11; $\alpha(M)=0.01182$ 17; $\alpha(N)=0.000844$ 12 $\alpha(K)\text{exp}=0.731$ 8; $\alpha(L1)\text{exp}=0.052$ 6; $\alpha(L2)\text{exp}=0.013$ 2 Mult.: $\alpha(K)\text{exp}$ and $\alpha(L1)\text{exp}$ agree with E1 somewhat better than with M1. Measured L1/L2 ratio disagrees with both E1 and M1.
46.098 <i>I</i>	6.4 <i>g</i> 3	211.1462	(4) <sup>-</sup>	165.0484 (3) <sup>-</sup>	(M1+E2)	0.065 25	0.84 5		$\alpha(K)=0.74$ 4; $\alpha(L)=0.087$ 9; $\alpha(M)=0.0132$ 13 $\alpha(N)=0.00097$ 8 $\alpha(K)\text{exp}=0.71$ 4; $\alpha(L1)\text{exp}=0.083$ 5 $\delta(M2/E1)=0.095$ 10, $\delta(E2/M1)=0.065$ 25. 1990Ho10 give mult=M1. Adopted level parities give $\Delta\pi=\text{no}.$
<sup>x</sup> 70.903 <i>I</i>	0.14 <i>g</i> 1								
74.873 <i>I</i>	1.73 <i>g</i> 16	286.0181	(3,4) <sup>-</sup>	211.1462 (4) <sup>-</sup>	M1+E2	0.15 3	0.25 2		$\alpha(K)=0.217$ 18; $\alpha(L)=0.025$ 3; $\alpha(M)=0.0039$ 4; $\alpha(N)=0.00028$ 3 $\alpha(K)\text{exp}=0.216$ 20
75.836 2	0.23 <i>g</i> 3	120.2581	1 <sup>+</sup>	44.4254 (1) <sup>+</sup>	M1+E2	0.28 6	0.34 7		$\alpha(K)=0.30$ 6; $\alpha(L)=0.038$ 9; $\alpha(M)=0.0057$ 13 $\alpha(N)=0.00040$ 8 $\alpha(K)\text{exp}=0.30$ 6
80.214 3	0.14 <i>g</i> 1	366.2291	(2 <sup>-</sup> to 5 <sup>-</sup> )	286.0181 (3,4) <sup>-</sup>					
81.411 2	0.20 <i>g</i> 2	292.5580	(2,3,4) <sup>-</sup>	211.1462 (4) <sup>-</sup>					
<sup>x</sup> 82.52 <i>e@</i> 3	<i>g@</i>								
<sup>x</sup> 83.153 <i>I</i>	0.22 <i>g</i> 2								
83.280 3	0.13 <i>g</i> 1	203.5420	(0,1) <sup>+</sup>	120.2581 1 <sup>+</sup>					
<sup>x</sup> 83.91 <i>e@</i> 3	4.4 <i>g@</i>								
86.788 <i>I</i>	16.1 <i>g</i> 6	86.7875	1 <sup>+</sup>	0.0	2 <sup>-</sup>	(E1+M2)	0.090 17	0.125 6	$\alpha(K)=0.111$ 5; $\alpha(L)=0.0120$ 6; $\alpha(M)=0.00181$ 10; $\alpha(N)=0.000133$ 7 $\alpha(K)\text{exp}=0.111$ 5; $\alpha(L1)\text{exp}=0.012$ 6 Mult.: ce data also agree with M1.
91.367 <i>I</i>	0.58 <i>g</i> 1	377.3841	(2) <sup>-</sup>	286.0181 (3,4) <sup>-</sup>	M1+E2	0.16 6	0.14 2		$\alpha(K)=0.123$ 19; $\alpha(L)=0.014$ 3; $\alpha(M)=0.0022$ 4; $\alpha(N)=0.00016$ 3 $\alpha(K)\text{exp}=0.124$ 17
<sup>x</sup> 93.39 <i>b</i> 8	<i>g</i>								
<sup>x</sup> 96.69 <i>b</i> 2	<i>g</i>								
101.916 2	0.08 <i>g</i> 1	479.2961	(2,3,4) <sup>-</sup>	377.3841 (2) <sup>-</sup>					
<sup>x</sup> 104.357 2	0.12 <i>g</i> 1								
116.755 <i>I</i>	1.82 <i>g</i> 11	203.5420	(0,1) <sup>+</sup>	86.7875 1 <sup>+</sup>	M1(+E2)	<0.15		0.063 5	$\alpha(K)=0.056$ 4; $\alpha(L)=0.0061$ 5; $\alpha(M)=0.00094$ 8 $\alpha(N)=7.0\times10^{-5}$ 5 $\alpha(K)\text{exp}=0.056$ 5

<sup>75</sup>As(n, $\gamma$ ) E=thermal 1990Ho10 (continued) $\gamma(^{76}\text{As})$  (continued)

$E_\gamma^{\dagger}$	$I_\gamma^{\ddagger}$	$E_i(\text{level})$	$J_i^\pi$	$E_f$	$J_f^\pi$	Mult.#	$\delta^\#$	$\alpha^i$	Comments
117.332 1	2.75 <sup>g</sup> 17	328.4784	(3,4) <sup>-</sup>	211.1462	(4) <sup>-</sup>	M1(+E2)	<0.15	0.062 5	$\alpha(K)=0.055$ 4; $\alpha(L)=0.0061$ 5; $\alpha(M)=0.00093$ 8 $\alpha(N)=6.9 \times 10^{-5}$ 5 $\alpha(K)\text{exp}=0.054$ 4
<sup>x</sup> 118.211 2	0.07 <sup>g</sup> 1								
118.680 3	0.34 <sup>g</sup> 2	669.114	(1 <sup>+</sup> ,2 <sup>+</sup> )	550.4350	(1 <sup>-</sup> ,2 <sup>-</sup> )				
120.258 1	10.7 <sup>g</sup> 7	120.2581	1 <sup>+</sup>	0.0	2 <sup>-</sup>	E1		0.0426	$\alpha(K)=0.0380$ 6; $\alpha(L)=0.00396$ 6; $\alpha(M)=0.000600$ 9 $\alpha(N)=4.46 \times 10^{-5}$ 7 $\alpha(K)\text{exp}=0.037$ 3 $\delta(M2/E1)<0.08$ .
122.247 1	5.92 <sup>g</sup> 24	122.2479	(1) <sup>-</sup>	0.0	2 <sup>-</sup>	M1+E2	0.15 3	0.059 4	$\alpha(K)=0.053$ 3; $\alpha(L)=0.0058$ 4; $\alpha(M)=0.00088$ 6 $\alpha(N)=6.6 \times 10^{-5}$ 4 $\alpha(K)\text{exp}=0.053$ 3
125.094 <sup>j</sup> 8	0.08 <sup>jg</sup> 1	669.114	(1 <sup>+</sup> ,2 <sup>+</sup> )	544.0231	(2) <sup>-</sup>				
125.094 <sup>j</sup> 8	0.08 <sup>jg</sup> 1	1034.263	1 <sup>+</sup>	909.169	(1,2) <sup>+</sup>				
127.513 6	2.48 <sup>g</sup> 25	292.5580	(2,3,4) <sup>-</sup>	165.0484	(3) <sup>-</sup>	M1+E2	0.17 5	0.054 5	$\alpha(K)=0.048$ 5; $\alpha(L)=0.0053$ 6; $\alpha(M)=0.00081$ 9; $\alpha(N)=6.0 \times 10^{-5}$ 6 $\alpha(K)\text{exp}=0.048$ 5
<sup>x</sup> 128.861 2	0.11 <sup>g</sup> 1								
131.304 5	0.06 <sup>g</sup> 1	508.6881	(2,3,4) <sup>-</sup>	377.3841	(2) <sup>-</sup>				
135.411 1	3.87 <sup>g</sup> 20	300.4601	(2,3) <sup>+</sup>	165.0484	(3) <sup>-</sup>	D			$\alpha(K)\text{exp}=0.0298$ 22 $\delta(M2/E1)=0.11$ 5, $\delta(E2/M1)=0$ .
136.343 1	0.75 <sup>g</sup> 7	436.8029	(1,2,3) <sup>-</sup>	300.4601	(2,3) <sup>+</sup>				
137.012 6	0.53 <sup>g</sup> 3	401.8324	(1,2) <sup>+</sup>	264.8065	1 <sup>+</sup>				
<sup>x</sup> 139.229 2	0.23 <sup>g</sup> 8								
141.216 7	1.12 <sup>g</sup> 16	352.3617	(3) <sup>-</sup>	211.1462	(4) <sup>-</sup>	M1+E2	0.25 7	0.046 7	$\alpha(K)=0.041$ 6; $\alpha(L)=0.0046$ 7; $\alpha(M)=0.00069$ 11; $\alpha(N)=5.1 \times 10^{-5}$ 7 $\alpha(K)\text{exp}=0.041$ 6
142.102 3	0.20 <sup>g</sup> 1	686.128	(1 <sup>-</sup> to 4)	544.0231	(2) <sup>-</sup>				
142.458 3	0.30 <sup>g</sup> 2	508.6881	(2,3,4) <sup>-</sup>	366.2291	(2 <sup>-</sup> to 5 <sup>-</sup> )				
143.267 4	0.09 1	308.3197	(2) <sup>+</sup>	165.0484	(3) <sup>-</sup>				
144.549 1	2.16 <sup>g</sup> 15	264.8065	1 <sup>+</sup>	120.2581	1 <sup>+</sup>	M1+E2	0.25 5	0.043 4	$\alpha(K)=0.038$ 4; $\alpha(L)=0.0042$ 5; $\alpha(M)=0.00065$ 7; $\alpha(N)=4.8 \times 10^{-5}$ 5 $\alpha(K)\text{exp}=0.038$ 4
<sup>x</sup> 145.233 3	0.09 <sup>g</sup> 1								
152.844 4	0.30 <sup>g</sup> 2	505.2046	(2,3) <sup>+</sup>	352.3617	(3) <sup>-</sup>				
155.082 1	1.04 <sup>g</sup> 9	366.2291	(2 <sup>-</sup> to 5 <sup>-</sup> )	211.1462	(4) <sup>-</sup>				
156.891 3	0.33 <sup>g</sup> 4	457.3496	(2 <sup>-</sup> ,3 <sup>+</sup> )	300.4601	(2,3) <sup>+</sup>				
157.745 1	2.97 <sup>g</sup> 24	628.7452	(1 <sup>+</sup> ,2 <sup>+</sup> )	471.0004	(2) <sup>-</sup>	D			$\alpha(K)\text{exp}=0.022$ 3

<sup>75</sup>As(n, $\gamma$ ) E=thermal 1990Ho10 (continued)

$\gamma(^{76}\text{As})$ (continued)									
$E_\gamma^\dagger$	$I_\gamma^\ddagger$	$E_i(\text{level})$	$J_i^\pi$	$E_f$	$J_f^\pi$	Mult. <sup>#</sup>	$\delta^\#$	$\alpha^i$	Comments
159.116 8	0.08 <sup>g</sup> 1	203.5420	(0,1) <sup>+</sup>	44.4254	(1) <sup>+</sup>				$\delta(M2/E1)=0.18$ 6, $\delta(E2/M1)<0.1$ . 1990Ho10 give mult=E1.
159.226 6	0.15 <sup>g</sup> 2	703.249	(1 <sup>-</sup> ,2 <sup>-</sup> ,3 <sup>+</sup> )	544.0231	(2) <sup>-</sup>				
<sup>x</sup> 161.924 2	0.27 <sup>g</sup> 7								
162.684 2	0.59 <sup>g</sup> 6	471.0004	(2) <sup>-</sup>	308.3197	(2) <sup>+</sup>				
165.047 1	24.3 <sup>g</sup> 7	165.0484	(3) <sup>-</sup>	0.0	2 <sup>-</sup>	M1(+E2)	<0.15	0.0247 12	$\alpha(K)=0.0220$ 10; $\alpha(L)=0.00236$ 12; $\alpha(M)=0.000360$ 18 $\alpha(N)=2.72\times 10^{-5}$ 13 $\alpha(K)\text{exp}=0.0215$ 15; $\alpha(L)\text{exp}=0.0023$ 3
166.862 6	0.10 <sup>g</sup> 1	447.1702	(1,2) <sup>+</sup>	280.3021	(1,2) <sup>+</sup>				
170.544 12	0.10 <sup>g</sup> 1	471.0004	(2) <sup>-</sup>	300.4601	(2,3 <sup>+</sup> )				
178.018 2	1.48 <sup>g</sup> 6	264.8065	1 <sup>+</sup>	86.7875	1 <sup>+</sup>	M1(+E2)	<0.25	0.0215 22	$\alpha(K)=0.0191$ 19; $\alpha(L)=0.00207$ 23; $\alpha(M)=0.00031$ 4; $\alpha(N)=2.37\times 10^{-5}$ 24 $\alpha(K)\text{exp}=0.017$ 3
178.442 4	0.18 <sup>g</sup> 1	471.0004	(2) <sup>-</sup>	292.5580	(2,3,4) <sup>-</sup>				
178.829 7	0.41 <sup>g</sup> 2	479.2961	(2,3,4) <sup>-</sup>	300.4601	(2,3 <sup>+</sup> )				
180.104 5	0.33 <sup>g</sup> 1	544.0231	(2) <sup>-</sup>	363.9060	(2 <sup>-</sup> )				
180.206 4	0.38 <sup>g</sup> 1	508.6881	(2,3,4) <sup>-</sup>	328.4784	(3,4) <sup>-</sup>	E2(+M1)	>1.2	0.074 15	$\alpha(K)=0.065$ 13; $\alpha(L)=0.0075$ 15; $\alpha(M)=0.00114$ 23 $\alpha(N)=8.2\times 10^{-5}$ 16 $\alpha(K)\text{exp}=0.066$ 14
186.072 3	0.38 <sup>g</sup> 2	308.3197	(2) <sup>+</sup>	122.2479	(1) <sup>-</sup>				
186.732 4	0.25 <sup>g</sup> 1	479.2961	(2,3,4) <sup>-</sup>	292.5580	(2,3,4) <sup>-</sup>				
187.312 3	0.37 <sup>g</sup> 1	352.3617	(3) <sup>-</sup>	165.0484	(3) <sup>-</sup>				
188.062 1	1.54 <sup>g</sup> 3	308.3197	(2) <sup>+</sup>	120.2581	1 <sup>+</sup>	M1(+E2)	<0.35	0.020 4	$\alpha(K)=0.018$ 3; $\alpha(L)=0.0019$ 4; $\alpha(M)=0.00029$ 5 $\alpha(N)=2.2\times 10^{-5}$ 4 $\alpha(K)\text{exp}=0.017$ 3
190.721 14	0.08 <sup>g</sup> 2	471.0004	(2) <sup>-</sup>	280.3021	(1,2) <sup>+</sup>				
191.130 7	0.10 <sup>g</sup> 1	519.6077	(1 <sup>-</sup> ,2,3 <sup>+</sup> )	328.4784	(3,4) <sup>-</sup>				
191.267 11	0.08 <sup>g</sup> 1	499.5801	(1 <sup>+</sup> ,2 <sup>+</sup> )	308.3197	(2) <sup>+</sup>				
191.664 5	0.12 <sup>g</sup> 2	544.0231	(2) <sup>-</sup>	352.3617	(3) <sup>-</sup>				
193.270 5	0.27 <sup>g</sup> 1	479.2961	(2,3,4) <sup>-</sup>	286.0181	(3,4) <sup>-</sup>				
194.790 11	0.040 <sup>g</sup> 15	939.750	(1,2,3)	744.945	(1 <sup>+</sup> ,2 <sup>+</sup> )				
198.046 8	0.10 <sup>g</sup> 1	703.249	(1 <sup>-</sup> ,2 <sup>-</sup> ,3 <sup>+</sup> )	505.2046	(2,3) <sup>+</sup>				
198.855 2	1.09 <sup>g</sup> 1	363.9060	(2 <sup>-</sup> )	165.0484	(3) <sup>-</sup>				
<sup>x</sup> 198.977 7	0.15 <sup>g</sup> 1								
200.449 6	0.26 <sup>g</sup> 7	637.248	(1 <sup>+</sup> ,2 <sup>+</sup> )	436.8029	(1,2,3) <sup>-</sup>				
201.187 4	0.30 <sup>g</sup> 1	366.2291	(2 <sup>-</sup> to 5 <sup>-</sup> )	165.0484	(3) <sup>-</sup>				
203.334 20	0.06 <sup>g</sup> 1	640.121	(1 <sup>-</sup> ,2 <sup>-</sup> )	436.8029	(1,2,3) <sup>-</sup>				
204.747 16	0.09 <sup>g</sup> 1	505.2046	(2,3) <sup>+</sup>	300.4601	(2,3) <sup>+</sup>				

<sup>75</sup>As(n, $\gamma$ ) E=thermal 1990Ho10 (continued) $\gamma(^{76}\text{As})$  (continued)

$E_\gamma^{\dagger}$	$I_\gamma^{\ddagger}$	$E_i(\text{level})$	$J_i^\pi$	$E_f$	$J_f^\pi$	Mult. <sup>#</sup>	$\delta^{\#}$	$\alpha^i$	Comments
211.146 2	2.21 <sup>g</sup> 7	211.1462	(4) <sup>-</sup>	0.0	2 <sup>-</sup>	(E2)		0.0489	$\alpha(K)=0.0432$ 6; $\alpha(L)=0.00491$ 7; $\alpha(M)=0.000745$ 11 $\alpha(N)=5.39 \times 10^{-5}$ 8 $\alpha(K)\text{exp}=0.057$ 5 Mult.: $\alpha(K)\text{exp}$ agrees with M2 also.
<sup>x</sup> 213.778 4	0.28 <sup>g</sup> 1								
<sup>x</sup> 215.494 14	0.11 <sup>g</sup> 1								
220.380 1	0.81 <sup>g</sup> 2	264.8065	1 <sup>+</sup>	44.4254	(1) <sup>+</sup>				
221.532 1	1.12 <sup>g</sup> 2	308.3197	(2) <sup>+</sup>	86.7875	1 <sup>+</sup>				
222.674 14	0.09 <sup>g</sup> 1	508.6881	(2,3,4) <sup>-</sup>	286.0181	(3,4) <sup>-</sup>				
224.003 4	0.30 <sup>g</sup> 1	958.394	(≤3)	734.3902	(1,2) <sup>-</sup>				
225.702 1	1.66 <sup>g</sup> 5	734.3902	(1,2) <sup>-</sup>	508.6881	(2,3,4) <sup>-</sup>	M1+E2	0.8 2	0.021 4	$\alpha(K)=0.019$ 3; $\alpha(L)=0.0021$ 4; $\alpha(M)=0.00032$ 6 $\alpha(N)=2.3 \times 10^{-5}$ 4 $\alpha(K)\text{exp}=0.019$ 3
<sup>x</sup> 234.208 4	0.18 <sup>g</sup> 1								
234.768 4	0.22 <sup>g</sup> 2	499.5801	(1 <sup>+</sup> ,2 <sup>+</sup> )	264.8065	1 <sup>+</sup>				
235.877 1	3.63 <sup>g</sup> 4	280.3021	(1,2) <sup>+</sup>	44.4254	(1) <sup>+</sup>	M1+E2	0.77 14	0.0181 21	$\alpha(K)=0.0160$ 19; $\alpha(L)=0.00177$ 21; $\alpha(M)=0.00027$ 4; $\alpha(N)=1.98 \times 10^{-5}$ 23 $\alpha(K)\text{exp}=0.0161$ 19
237.281 3	0.25 <sup>g</sup> 1	517.5784	(1 <sup>+</sup> ,2 <sup>+</sup> )	280.3021	(1,2) <sup>+</sup>				
238.996 1	0.55 <sup>g</sup> 25	756.5743	(0 <sup>+</sup> ,3 <sup>+</sup> )	517.5784	(1 <sup>+</sup> ,2 <sup>+</sup> )				
239.309 4	0.17 <sup>g</sup> 1	519.6077	(1 <sup>-</sup> ,2,3 <sup>+</sup> )	280.3021	(1,2) <sup>+</sup>				
241.657 1	0.54 <sup>g</sup> 2	363.9060	(2 <sup>-</sup> )	122.2479	(1) <sup>-</sup>				
243.566 8	0.11 <sup>g</sup> 1	544.0231	(2) <sup>-</sup>	300.4601	(2,3 <sup>+</sup> )				
246.203 2	0.49 <sup>g</sup> 1	457.3496	(2 <sup>-</sup> ,3 <sup>+</sup> )	211.1462	(4) <sup>-</sup>				
<sup>x</sup> 249.794 2	0.33 <sup>g</sup> 7								
<sup>x</sup> 252.074 9	0.12 <sup>g</sup> 1								
256.036 3	0.91 <sup>g</sup> 1	300.4601	(2,3 <sup>+</sup> )	44.4254	(1) <sup>+</sup>				
259.849 15	0.14 <sup>g</sup> 2	471.0004	(2) <sup>-</sup>	211.1462	(4) <sup>-</sup>				
262.178 10	0.24 <sup>g</sup> 2	741.464	(≤3)	479.2961	(2,3,4) <sup>-</sup>				
263.400 13	0.21 <sup>g</sup> 2	734.3902	(1,2) <sup>-</sup>	471.0004	(2) <sup>-</sup>				
263.894 1	3.46 <sup>g</sup> 4	308.3197	(2) <sup>+</sup>	44.4254	(1) <sup>+</sup>				
264.420 6	0.21 <sup>g</sup> 3	550.4350	(1 <sup>-</sup> ,2 <sup>-</sup> )	286.0181	(3,4) <sup>-</sup>				
268.162 7	0.16 <sup>g</sup> 1	479.2961	(2,3,4) <sup>-</sup>	211.1462	(4) <sup>-</sup>				
270.128 4	0.24 <sup>g</sup> 1	550.4350	(1 <sup>-</sup> ,2 <sup>-</sup> )	280.3021	(1,2) <sup>+</sup>				
271.754 4	0.30 <sup>g</sup> 2	436.8029	(1,2,3) <sup>-</sup>	165.0484	(3) <sup>-</sup>				
273.952 5	0.20 <sup>g</sup> 2	793.570	(1,2,3) <sup>+</sup>	519.6077	(1 <sup>-</sup> ,2,3 <sup>+</sup> )				
277.117 4	0.15 <sup>g</sup> 1	363.9060	(2 <sup>-</sup> )	86.7875	1 <sup>+</sup>				
<sup>x</sup> 279.68 <sup>b</sup> 3	1.4 <sup>g</sup>								

<sup>75</sup>As(n, $\gamma$ ) E=thermal 1990Ho10 (continued) $\gamma$ (<sup>76</sup>As) (continued)

$E_\gamma^\dagger$	$I_\gamma^\ddagger$	$E_i(\text{level})$	$J_i^\pi$	$E_f$	$J_f^\pi$	$E_\gamma^\dagger$	$I_\gamma^\ddagger$	$E_i(\text{level})$	$J_i^\pi$	$E_f$	$J_f^\pi$
281.575 1	1.79 <sup>g</sup> 7	401.8324	(1,2) <sup>+</sup>	120.2581	1 <sup>+</sup>	394.236 11	0.14 <sup>g</sup> 2	893.811	(1 <sup>-</sup> ,2 <sup>-</sup> ,3 <sup>+</sup> )	499.5801	(1 <sup>+</sup> ,2 <sup>+</sup> )
294.265 21	0.12 <sup>g</sup> 2	741.464	(≤3)	447.1702	(1,2) <sup>+</sup>	395.328 19	0.12 <sup>g</sup> 1	517.5784	(1 <sup>+</sup> ,2 <sup>+</sup> )	122.2479	(1) <sup>-</sup>
296.039 4	0.32 <sup>g</sup> 1	499.5801	(1 <sup>+</sup> ,2 <sup>+</sup> )	203.5420	(0,1) <sup>+</sup>	399.347 2	0.71 <sup>g</sup> 7	519.6077	(1 <sup>-</sup> ,2,3 <sup>+</sup> )	120.2581	1 <sup>+</sup>
297.248 10	0.24 <sup>g</sup> 10	802.452	(1 <sup>-</sup> ,2 <sup>-</sup> ,3 <sup>+</sup> )	505.2046	(2,3) <sup>+</sup>	402.746 3	1.08 <sup>g</sup> 8	447.1702	(1,2) <sup>+</sup>	44.4254	(1) <sup>+</sup>
297.542 1	1.24 <sup>g</sup> 4	508.6881	(2,3,4) <sup>-</sup>	211.1462	(4) <sup>-</sup>	412.795 3	0.31 <sup>g</sup> 3	499.5801	(1 <sup>+</sup> ,2 <sup>+</sup> )	86.7875	1 <sup>+</sup>
300.461 1	1.18 <sup>g</sup> 6	300.4601	(2,3 <sup>+</sup> )	0.0	2 <sup>-</sup>	418.418 14	0.14 <sup>g</sup> 1	505.2046	(2,3) <sup>+</sup>	86.7875	1 <sup>+</sup>
301.636 6	0.21 <sup>g</sup> 2	609.970	(3 <sup>+</sup> )	308.3197	(2) <sup>+</sup>	426.580 4	1.95 <sup>g</sup> 10	471.0004	(2) <sup>-</sup>	44.4254	(1) <sup>+</sup>
306.645 9	0.25 <sup>g</sup> 1	935.384	1 <sup>+</sup>	628.7452	(1 <sup>+</sup> ,2 <sup>+</sup> )	428.195 5	0.30 <sup>g</sup> 2	550.4350	(1 <sup>-</sup> ,2 <sup>-</sup> )	122.2479	(1) <sup>-</sup>
307.98 4	0.08 <sup>g</sup> 1	1064.492	1 <sup>+</sup>	756.5743	(0 <sup>+</sup> ,3 <sup>+</sup> )	430.802 5	0.24 <sup>g</sup> 4	517.5784	(1 <sup>+</sup> ,2 <sup>+</sup> )	86.7875	1 <sup>+</sup>
308.327 4	0.31 <sup>g</sup> 2	308.3197	(2) <sup>+</sup>	0.0	2 <sup>-</sup>	432.839 12	0.17 <sup>g</sup> 2	519.6077	(1 <sup>-</sup> ,2,3 <sup>+</sup> )	86.7875	1 <sup>+</sup>
311.005 5	0.33 <sup>g</sup> 2	939.750	(1,2,3)	628.7452	(1 <sup>+</sup> ,2 <sup>+</sup> )	436.803 8	0.21 <sup>g</sup> 3	436.8029	(1,2,3) <sup>-</sup>	0.0	2 <sup>-</sup>
314.240 5	0.51 <sup>g</sup> 4	479.2961	(2,3,4) <sup>-</sup>	165.0484	(3) <sup>-</sup>	438.57 4	0.13 <sup>g</sup> 1	802.452	(1 <sup>-</sup> ,2 <sup>-</sup> ,3 <sup>+</sup> )	363.9060	(2 <sup>-</sup> )
315.041 5	0.20 <sup>g</sup> 1	401.8324	(1,2) <sup>+</sup>	86.7875	1 <sup>+</sup>	440.19 6	0.15 <sup>g</sup> 1	939.750	(1,2,3)	499.5801	(1 <sup>+</sup> ,2 <sup>+</sup> )
x319.033 2	0.54 <sup>g</sup> 5					453.755 9	0.21 <sup>g</sup> 2	924.754	(≤3 <sup>-</sup> )	471.0004	(2) <sup>-</sup>
319.485 7	0.14 <sup>g</sup> 1	363.9060	(2 <sup>-</sup> )	44.4254	(1) <sup>+</sup>	457.29 3	0.17 <sup>g</sup> 1	457.3496	(2 <sup>-</sup> ,3 <sup>+</sup> )	0.0	2 <sup>-</sup>
322.573 3	0.31 <sup>g</sup> 10	793.570	(1,2,3) <sup>+</sup>	471.0004	(2) <sup>-</sup>	460.777 17	0.27 <sup>g</sup> 2	505.2046	(2,3) <sup>+</sup>	44.4254	(1) <sup>+</sup>
326.906 7	0.32 <sup>g</sup> 3	447.1702	(1,2) <sup>+</sup>	120.2581	1 <sup>+</sup>	461.13 3	0.18 <sup>g</sup> 1	741.464	(≤3)	280.3021	(1,2) <sup>+</sup>
x328.451 7	0.20 <sup>g</sup> 6					x463.244 8	0.34 <sup>g</sup> 3				
329.653 8	0.17 <sup>g</sup> 2	958.394	(≤3)	628.7452	(1 <sup>+</sup> ,2 <sup>+</sup> )	463.647 4	0.40 <sup>g</sup> 2	550.4350	(1 <sup>-</sup> ,2 <sup>-</sup> )	86.7875	1 <sup>+</sup>
330.100 7	0.31 <sup>g</sup> 4	1064.492	1 <sup>+</sup>	734.3902	(1,2) <sup>-</sup>	466.072 19	0.14 <sup>g</sup> 2	774.408	(3) <sup>+</sup>	308.3197	(2) <sup>+</sup>
x332.703 8	0.31 <sup>g</sup> 2					467.963 12	0.22 <sup>g</sup> 1	985.545	(1,2,3) <sup>+</sup>	517.5784	(1 <sup>+</sup> ,2 <sup>+</sup> )
339.332 13	0.13 <sup>g</sup> 3	703.249	(1 <sup>-</sup> ,2 <sup>-</sup> ,3 <sup>+</sup> )	363.9060	(2 <sup>-</sup> )	468.775 15	0.18 <sup>g</sup> 1	939.750	(1,2,3)	471.0004	(2) <sup>-</sup>
340.156 2	0.73 <sup>g</sup> 7	505.2046	(2,3) <sup>+</sup>	165.0484	(3) <sup>-</sup>	471.000 1	4.06 <sup>g</sup> 8	471.0004	(2) <sup>-</sup>	0.0	2 <sup>-</sup>
343.105 6	0.20 <sup>g</sup> 1	744.945	(1 <sup>+</sup> ,2 <sup>+</sup> )	401.8324	(1,2) <sup>+</sup>	473.152 1	3.53 <sup>g</sup> 14	517.5784	(1 <sup>+</sup> ,2 <sup>+</sup> )	44.4254	(1) <sup>+</sup>
352.367 4	1.08 <sup>g</sup> 16	352.3617	(3) <sup>-</sup>	0.0	2 <sup>-</sup>	477.577 25	0.27 <sup>g</sup> 3	924.754	(≤3 <sup>-</sup> )	447.1702	(1,2) <sup>+</sup>
354.558 4	0.23 <sup>g</sup> 2	519.6077	(1 <sup>-</sup> ,2,3 <sup>+</sup> )	165.0484	(3) <sup>-</sup>	479.095 15	0.28 <sup>g</sup> 4	958.394	(≤3)	479.2961	(2,3,4) <sup>-</sup>
354.78 4	0.07 <sup>g</sup> 2	756.5743	(0 <sup>+</sup> ,3 <sup>+</sup> )	401.8324	(1,2) <sup>+</sup>	480.125 9	0.36 <sup>g</sup> 2	744.945	(1 <sup>+</sup> ,2 <sup>+</sup> )	264.8065	1 <sup>+</sup>
357.401 4	1.38 <sup>g</sup> 8	401.8324	(1,2) <sup>+</sup>	44.4254	(1) <sup>+</sup>	487.396 12	0.25 <sup>g</sup> 4	958.394	(≤3)	471.0004	(2) <sup>-</sup>
360.383 2	0.55 <sup>g</sup> 6	447.1702	(1,2) <sup>+</sup>	86.7875	1 <sup>+</sup>	x490.3@ <sup>g</sup> @					
363.911 2	1.30 <sup>g</sup> 9	363.9060	(2 <sup>-</sup> )	0.0	2 <sup>-</sup>	494.106 7	0.22 <sup>g</sup> 2	774.408	(3) <sup>+</sup>	280.3021	(1,2) <sup>+</sup>
x366.36 3	0.17 <sup>g</sup> 2					506.493 11	0.23 <sup>g</sup> 5	628.7452	(1 <sup>+</sup> ,2 <sup>+</sup> )	122.2479	(1) <sup>-</sup>
x371.111 4	0.22 <sup>g</sup> 4					x513.230 8	0.42 <sup>g</sup> 8				
374.778 21	0.11 <sup>g</sup> 3	703.249	(1 <sup>-</sup> ,2 <sup>-</sup> ,3 <sup>+</sup> )	328.4784	(3,4) <sup>-</sup>	517.025 18	0.15 <sup>g</sup> 3	637.248	(1 <sup>+</sup> ,2 <sup>+</sup> )	120.2581	1 <sup>+</sup>
378.975 4	0.72 <sup>g</sup> 6	544.0231	(2) <sup>-</sup>	165.0484	(3) <sup>-</sup>	517.869 12	0.59 <sup>g</sup> 7	640.121	(1 <sup>-</sup> ,2 <sup>-</sup> )	122.2479	(1) <sup>-</sup>
379.322 5	0.56 <sup>g</sup> 4	499.5801	(1 <sup>+</sup> ,2 <sup>+</sup> )	120.2581	1 <sup>+</sup>	x520.644 6	0.6 <sup>g</sup> 4				
x382.876 12	0.16 <sup>g</sup> 1					521.090 24	0.15 <sup>g</sup> 2	686.128	(1 <sup>-</sup> to 4)	165.0484	(3) <sup>-</sup>
384.001 5	0.23 <sup>g</sup> 2	785.833	(≤3 <sup>+</sup> )	401.8324	(1,2) <sup>+</sup>	529.905 11	0.20 <sup>g</sup> 3	893.811	(1 <sup>-,2<sup>-</sup>,3<sup>+</sup>)</sup>	363.9060	(2 <sup>-</sup> )
393.581 6	0.24 <sup>g</sup> 3	686.128	(1 <sup>-</sup> to 4)	292.5580	(2,3,4) <sup>-</sup>	x540.643 10	0.33 <sup>g</sup> 2				

<sup>75</sup>As(n, $\gamma$ ) E=thermal 1990Ho10 (continued) $\gamma(^{76}\text{As})$  (continued)

$E_\gamma^\dagger$	$I_\gamma^\ddagger$	$E_i(\text{level})$	$J_i^\pi$	$E_f$	$J_f^\pi$	$E_\gamma^\dagger$	$I_\gamma^\ddagger$	$E_i(\text{level})$	$J_i^\pi$	$E_f$	$J_f^\pi$
544.041 17	0.16 <sup>g</sup> 2	544.0231	(2) <sup>-</sup>	0.0	2 <sup>-</sup>	<sup>x</sup> 790.00 5	0.23 <sup>g</sup> 2				
550.459 3	1.64 <sup>g</sup> 11	637.248	(1 <sup>+</sup> ,2 <sup>+</sup> )	86.7875	1 <sup>+</sup>	<sup>x</sup> 799.4 <sup>b</sup> 6	0.37 <sup>g</sup>				
<sup>x</sup> 554.044 8	0.34 <sup>g</sup> 3					822.35 7	0.6 <sup>g</sup> 3	909.169	(1,2) <sup>+</sup>	86.7875	1 <sup>+</sup>
554.968 <sup>c</sup> 14	0.21 <sup>g</sup> 2	1034.263	1 <sup>+</sup>	479.2961	(2,3,4) <sup>-</sup>	848.577 22	0.67 <sup>g</sup> 12	935.384	1 <sup>+</sup>	86.7875	1 <sup>+</sup>
565.552 4	1.26 <sup>g</sup> 7	609.970	(3 <sup>+</sup> )	44.4254	(1) <sup>+</sup>	861.2 <sup>&amp;</sup> 6	0.40 <sup>g&amp;</sup>	1026.2?	(1 <sup>+</sup> ,2 <sup>+</sup> )	165.0484	(3) <sup>-</sup>
582.299 12	0.36 <sup>g</sup> 1	785.833	(≤3 <sup>+</sup> )	203.5420	(0,1) <sup>+</sup>	880.38 3	0.58 <sup>g</sup> 18	924.754	(≤3 <sup>-</sup> )	44.4254	(1) <sup>+</sup>
<sup>x</sup> 584.65 6	0.29 <sup>g</sup> 1					<sup>x</sup> 900.34 4	0.52 <sup>g</sup> 16				
585.43 4	0.20 <sup>g</sup> 3	893.811	(1 <sup>-</sup> ,2 <sup>-</sup> ,3 <sup>+</sup> )	308.3197	(2) <sup>+</sup>	927.0 <sup>&amp;</sup> 6	0.11 <sup>g&amp;</sup>	1013.8?	(≤3 <sup>+</sup> )	86.7875	1 <sup>+</sup>
<sup>x</sup> 588.304 11	0.36 <sup>g</sup> 2					<sup>x</sup> 936.115 25	0.82 <sup>g</sup> 8				
<sup>x</sup> 596.094 14	0.29 <sup>g</sup> 1					941.21 6	0.47 <sup>g</sup> 4	985.545	(1,2,3) <sup>+</sup>	44.4254	(1) <sup>+</sup>
600.83 3	0.18 <sup>g</sup> 5	909.169	(1,2) <sup>+</sup>	308.3197	(2) <sup>+</sup>	942.27 9	0.39 <sup>g</sup> 1	1064.492	1 <sup>+</sup>	122.2479	(1) <sup>-</sup>
607.06 8	0.16 <sup>g</sup> 3	1064.492	1 <sup>+</sup>	457.3496	(2 <sup>-</sup> ,3 <sup>+</sup> )	<sup>x</sup> 943.29 8	0.32 <sup>g</sup> 3				
609.959 23	0.24 <sup>g</sup> 5	609.970	(3 <sup>+</sup> )	0.0	2 <sup>-</sup>	<sup>x</sup> 962.8 <sup>&amp;</sup> 6	0.16 <sup>g&amp;</sup>				
624.697 6	0.67 <sup>g</sup> 4	744.945	(1 <sup>+</sup> ,2 <sup>+</sup> )	120.2581	1 <sup>+</sup>	971.7 <sup>&amp;</sup> 6	0.16 <sup>g&amp;</sup>	970.93	(≤3)	0.0	2 <sup>-</sup>
628.66 5	0.25 <sup>g</sup> 2	628.7452	(1 <sup>+</sup> ,2 <sup>+</sup> )	0.0	2 <sup>-</sup>	989.2 <sup>&amp;</sup> 6	0.22 <sup>g&amp;</sup>	1034.263	1 <sup>+</sup>	44.4254	(1) <sup>+</sup>
632.45 3	0.41 <sup>g</sup> 7	1034.263	1 <sup>+</sup>	401.8324	(1,2) <sup>+</sup>	<sup>x</sup> 1002.3 <sup>&amp;</sup> 6	0.22 <sup>g&amp;</sup>				
<sup>x</sup> 634.000 13	0.45 <sup>g</sup> 11					<sup>x</sup> 1018.5 <sup>&amp;</sup> 6	0.27 <sup>g&amp;</sup>				
640.11 3	0.34 <sup>g</sup> 7	640.121	(1 <sup>-</sup> ,2 <sup>-</sup> )	0.0	2 <sup>-</sup>	<sup>x</sup> 1038.1 <sup>&amp;</sup> 6	0.51 <sup>g&amp;</sup>				
<sup>x</sup> 643.014 9	0.77 <sup>g</sup> 12					<sup>x</sup> 1059.6 <sup>&amp;</sup> 6	0.11 <sup>g&amp;</sup>				
644.43 <sup>d</sup> 3	0.37 <sup>g</sup> 7	909.169	(1,2) <sup>+</sup>	264.8065	1 <sup>+</sup>	<sup>x</sup> 1088.4 <sup>&amp;</sup> 6	0.22 <sup>g&amp;</sup>				
<sup>x</sup> 648.557 17	0.37 <sup>g</sup> 13					<sup>x</sup> 4018 <sup>&amp;</sup> 3	0.07 <sup>g&amp;</sup>				
669.062 22	0.65 10	669.114	(1 <sup>+</sup> ,2 <sup>+</sup> )	0.0	2 <sup>-</sup>	<sup>x</sup> 4041 <sup>&amp;</sup> 3	0.06 <sup>g&amp;</sup>				
687.13 6	0.25 <sup>g</sup> 13	1064.492	1 <sup>+</sup>	377.3841	(2) <sup>-</sup>	<sup>x</sup> 4072 <sup>&amp;</sup> 3	0.10 <sup>g&amp;</sup>				
687.67 3	0.38 <sup>g</sup> 12	774.408	(3) <sup>+</sup>	86.7875	1 <sup>+</sup>	<sup>x</sup> 4084 <sup>&amp;</sup> 3	0.07 <sup>g&amp;</sup>				
<sup>x</sup> 696.947 6	1.08 <sup>g</sup> 14					<sup>x</sup> 4097 <sup>&amp;</sup> 3	0.07 <sup>g&amp;</sup>				
<sup>x</sup> 700.77 7	0.31 <sup>g</sup> 3					<sup>x</sup> 4120 <sup>&amp;</sup> 3	0.05 <sup>g&amp;</sup>				
<sup>x</sup> 706.44 6	0.82 <sup>g</sup> 13					<sup>x</sup> 4136 <sup>&amp;</sup> 3	0.07 <sup>g&amp;</sup>				
706.90 6	0.82 <sup>g</sup> 13	793.570	(1,2,3) <sup>+</sup>	86.7875	1 <sup>+</sup>	<sup>x</sup> 4159 <sup>&amp;</sup> 3	0.20 <sup>g&amp;</sup>				
725.935 23	0.33 <sup>g</sup> 7	1034.263	1 <sup>+</sup>	308.3197	(2) <sup>+</sup>	<sup>x</sup> 4176 <sup>&amp;</sup> 3	0.10 <sup>g&amp;</sup>				
731.81 3	0.36 <sup>g</sup> 7	935.384	1 <sup>+</sup>	203.5420	(0,1) <sup>+</sup>	<sup>x</sup> 4217 <sup>&amp;</sup> 3	0.05 <sup>g&amp;</sup>				
<sup>x</sup> 736.0 <sup>b</sup> 6	0.28 <sup>g</sup>					<sup>x</sup> 4247 <sup>&amp;</sup> 3	0.10 <sup>g&amp;</sup>				
<sup>x</sup> 743.4 <sup>b</sup> 6	0.20 <sup>g</sup>					<sup>x</sup> 4257 <sup>&amp;</sup> 3	0.10 <sup>g&amp;</sup>				
774.9 <sup>&amp;k</sup> 6	0.13 <sup>g&amp;</sup>	863.36	1 <sup>+</sup>	86.7875	1 <sup>+</sup>	<sup>x</sup> 4272 <sup>&amp;</sup> 3	0.14 <sup>g&amp;</sup>				
<sup>x</sup> 786.8 <sup>b</sup> 6	0.31 <sup>g</sup>					<sup>x</sup> 4286 <sup>&amp;</sup> 3	0.11 <sup>g&amp;</sup>				

<sup>75</sup>As(n, $\gamma$ ) E=thermal 1990Ho10 (continued) $\gamma$ (<sup>76</sup>As) (continued)

E <sub><math>\gamma</math></sub> <sup>†</sup>	I <sub><math>\gamma</math></sub> <sup>‡</sup>	E <sub>i</sub> (level)	E <sub><math>\gamma</math></sub> <sup>†</sup>	I <sub><math>\gamma</math></sub> <sup>‡</sup>	E <sub>i</sub> (level)
x4304& 3	0.11g&		x4877& 3	0.15g&	
x4318& 3	0.15g&		x4891& 3	0.13g&	
x4329& 3	0.15g&		x4918& 3	0.22g&	
x4337& 3	0.05g&		x4935& 3	0.27g&	
x4347& 3	0.22g&		x4946& 3	0.32g&	
x4369& 3	0.12g&		x4960& 3	0.45g&	
x4392& 3	0.05g&		x4978& 3	0.16g&	
x4406& 3	0.08g&		x4986& 3	0.18g&	
x4417& 3	0.06g&		x4996& 3	0.51g&	
x4429& 3	0.16g&		x5013& 3	0.17g&	
x4466& 3	0.11g&		x5024& 3	0.18g&	
x4483& 3	0.11g&		x5038& 3	0.06g&	
x4493& 3	0.06g&		x5057& 3	0.09g&	
x4503& 3	0.37g&		x5068& 3	0.29g&	
x4515& 3	0.14g&		x5082& 3	0.69g&	
x4532& 3	0.11g&		x5093& 3	0.15g&	
x4544& 3	0.14g&		x5119& 3	0.13g&	
x4568& 3	0.18g&		x5149& 3	0.19g&	
x4587& 3	0.07g&		x5156& 3	0.31g&	
x4599& 3	0.05g&		x5178& 3	0.14g&	
x4619& 3	0.13g&		x5195& 3	0.07g&	
x4649& 3	0.22g&		x5208& 3	0.13g&	
x4660& 3	0.09g&		x5233& 3	0.08g&	
x4694& 3	0.11g&		x5270& 3	0.12g&	
x4734& 3	0.20g&		x5285& 3	0.16g&	
x4763& 3	0.11g&		x5294& 3	0.23g&	
x4775& 3	0.12g&		x5303& 3	0.27g&	
x4783& 3	0.71g&		x5325& 3	0.05g&	
x4810& 3	0.14g&		x5345& 3	0.07g&	
x4828& 3	0.22g&		x5360& 3	0.13g&	
x4844& 3	0.29g&		x5375& 3	0.51g&	
x4860& 3	0.05g&		x5399& 3	0.12g&	

<sup>75</sup>As(n, $\gamma$ ) E=thermal 1990Ho10 (continued) $\gamma(^{76}\text{As})$  (continued)

$E_\gamma^\dagger$	$I_\gamma^\ddagger$	$E_i(\text{level})$	$J_i^\pi$	$E_f$	$J_f^\pi$
<sup>x</sup> 5417 & 3	0.66g&				
<sup>x</sup> 5443 & 3	0.15g&				
<sup>x</sup> 5452 & 3	0.14g&				
<sup>x</sup> 5468 & 3	0.29g&				
<sup>x</sup> 5494 & 3	0.11g&				
<sup>x</sup> 5509 & 3	0.17g&				
5526.99 18	11.0 <i>h</i> 5	(7328.494)	1 <sup>-</sup> ,2 <sup>-</sup>	1801.50 ( $\leq 3$ )	
5533.91 4	148.4 <i>h</i> 15	(7328.494)	1 <sup>-</sup> ,2 <sup>-</sup>	1794.58 1 <sup>+</sup>	
5540.53 23	12.9 <i>h</i> 6	(7328.494)	1 <sup>-</sup> ,2 <sup>-</sup>	1787.96 ( $\leq 3$ )	
5546.02 13	17.8 <i>h</i> 7	(7328.494)	1 <sup>-</sup> ,2 <sup>-</sup>	1782.47 ( $\leq 3$ )	
5568.96 7	34.8 <i>h</i> 7	(7328.494)	1 <sup>-</sup> ,2 <sup>-</sup>	1759.53 ( $\leq 3$ )	
5580.19 5	66.5 <i>h</i> 7	(7328.494)	1 <sup>-</sup> ,2 <sup>-</sup>	1748.30 ( $\leq 3$ )	
5601.34 10	13.6 <i>h</i> 5	(7328.494)	1 <sup>-</sup> ,2 <sup>-</sup>	1727.15 ( $\leq 3$ )	
5612.9 7	10.3 <i>h</i> 22	(7328.494)	1 <sup>-</sup> ,2 <sup>-</sup>	1715.6 1 <sup>+</sup>	
5614.96 20	14.6 <i>h</i> 24	(7328.494)	1 <sup>-</sup> ,2 <sup>-</sup>	1713.53 (1 <sup>-</sup> ,2 <sup>-</sup> )	
5624.23 19	6.9 <i>h</i> 5	(7328.494)	1 <sup>-</sup> ,2 <sup>-</sup>	1704.26 ( $\leq 3$ )	
5629.51 11	17.8 <i>h</i> 7	(7328.494)	1 <sup>-</sup> ,2 <sup>-</sup>	1698.98 ( $\leq 3$ )	
5633.9 5	5.3 <i>h</i> 6	(7328.494)	1 <sup>-</sup> ,2 <sup>-</sup>	1694.6 1 <sup>+</sup>	
5645.72 12	11.7 <i>h</i> 5	(7328.494)	1 <sup>-</sup> ,2 <sup>-</sup>	1682.77 ( $\leq 3$ )	
5655.19 9	16.9 <i>h</i> 5	(7328.494)	1 <sup>-</sup> ,2 <sup>-</sup>	1673.30 ( $\leq 3$ )	
5663.78 4	68.6 <i>h</i> 7	(7328.494)	1 <sup>-</sup> ,2 <sup>-</sup>	1664.71 ( $\leq 3$ )	
5675.86 4	104.0 <i>h</i> 10	(7328.494)	1 <sup>-</sup> ,2 <sup>-</sup>	1652.63 ( $\leq 3$ )	
5684.18 6	40.7 <i>h</i> 4	(7328.494)	1 <sup>-</sup> ,2 <sup>-</sup>	1644.31 ( $\leq 3$ )	
5690.52 5	65.3 <i>h</i> 7	(7328.494)	1 <sup>-</sup> ,2 <sup>-</sup>	1637.97 ( $\leq 3$ )	
5698.03 5	47.1 <i>h</i> 5	(7328.494)	1 <sup>-</sup> ,2 <sup>-</sup>	1630.46 1 <sup>+</sup>	
5723.36 10	15.7 <i>h</i> 5	(7328.494)	1 <sup>-</sup> ,2 <sup>-</sup>	1605.13 ( $\leq 3$ )	
5730.9 6	2.4 <i>h</i> 4	(7328.494)	1 <sup>-</sup> ,2 <sup>-</sup>	1597.6 ( $\leq 3$ )	
5744.5 3	4.2 <i>h</i> 4	(7328.494)	1 <sup>-</sup> ,2 <sup>-</sup>	1584.0 ( $\leq 3$ )	
5757.19 4	57.2 <i>h</i> 6	(7328.494)	1 <sup>-</sup> ,2 <sup>-</sup>	1571.30 (2 <sup>-</sup> )	
5778.10 5	47.4 <i>h</i> 5	(7328.494)	1 <sup>-</sup> ,2 <sup>-</sup>	1550.39 ( $\leq 3$ )	
5786.79 4	67.5 <i>h</i> 7	(7328.494)	1 <sup>-</sup> ,2 <sup>-</sup>	1541.70 ( $\leq 3$ )	
5803.7 3	8.6 <i>h</i> 6	(7328.494)	1 <sup>-</sup> ,2 <sup>-</sup>	1524.8 ( $\leq 3$ )	

<sup>75</sup>As(n, $\gamma$ ) E=thermal 1990Ho10 (continued) $\gamma$ (<sup>76</sup>As) (continued)

E <sub><math>\gamma</math></sub> <sup>†</sup>	I <sub><math>\gamma</math></sub> <sup>‡</sup>	E <sub>i</sub> (level)	J <sub>i</sub> <sup>π</sup>	E <sub>f</sub>	J <sub>f</sub> <sup>π</sup>	Mult. <sup>#</sup>	Comments
5808.3 3	7.4 <sup>h</sup> 7	(7328.494)	1 <sup>-</sup> ,2 <sup>-</sup>	1520.2	(≤3)		
5816.37 7	24.3 <sup>h</sup> 3	(7328.494)	1 <sup>-</sup> ,2 <sup>-</sup>	1512.12	(≤3)		
5829.6 11	1.9 <sup>h</sup> 6	(7328.494)	1 <sup>-</sup> ,2 <sup>-</sup>	1498.9	(≤3)		
5834.19 10	20.6 <sup>h</sup> 6	(7328.494)	1 <sup>-</sup> ,2 <sup>-</sup>	1494.30	(≤3)		
5850.8 4	9.3 <sup>h</sup> 14	(7328.494)	1 <sup>-</sup> ,2 <sup>-</sup>	1477.7	(1 <sup>-</sup> ,2 <sup>-</sup> )		
5854.90 20	21.6 <sup>h</sup> 11	(7328.494)	1 <sup>-</sup> ,2 <sup>-</sup>	1473.59	1 <sup>+</sup>		
5869.64 9	74.3 <sup>h</sup> 22	(7328.494)	1 <sup>-</sup> ,2 <sup>-</sup>	1458.85	(≤3)		
5877.66 9	27.1 <sup>h</sup> 6	(7328.494)	1 <sup>-</sup> ,2 <sup>-</sup>	1450.83	(≤3)		
5884.71 5	49.5 <sup>h</sup> 5	(7328.494)	1 <sup>-</sup> ,2 <sup>-</sup>	1443.78	(≤3)		
5906.24 13	12.6 <sup>h</sup> 5	(7328.494)	1 <sup>-</sup> ,2 <sup>-</sup>	1422.25	(≤3)		
5924.5 3	7.4 <sup>h</sup> 5	(7328.494)	1 <sup>-</sup> ,2 <sup>-</sup>	1404.0	(≤3)		
5931.21 14	14.0 <sup>h</sup> 6	(7328.494)	1 <sup>-</sup> ,2 <sup>-</sup>	1397.28	(≤3)		
5942.96 14	11.7 <sup>h</sup> 5	(7328.494)	1 <sup>-</sup> ,2 <sup>-</sup>	1385.53	(≤3)		
5959.2 4	3.0 <sup>h</sup> 4	(7328.494)	1 <sup>-</sup> ,2 <sup>-</sup>	1369.3	(≤3)		
5970.12 7	20.7 <sup>h</sup> 4	(7328.494)	1 <sup>-</sup> ,2 <sup>-</sup>	1358.37	(≤3)		
5976.18 8	19.6 <sup>h</sup> 4	(7328.494)	1 <sup>-</sup> ,2 <sup>-</sup>	1352.31	1 <sup>+</sup>		
5986.65 4	40.2 <sup>h</sup> 4	(7328.494)	1 <sup>-</sup> ,2 <sup>-</sup>	1341.84	(≤3)		
6006.34 7	29.2 <sup>h</sup> 6	(7328.494)	1 <sup>-</sup> ,2 <sup>-</sup>	1322.15	(≤3)		
6013.99 12	22.0 <sup>h</sup> 7	(7328.494)	1 <sup>-</sup> ,2 <sup>-</sup>	1314.50	(≤3)		
6019.17 17	15.8 <sup>h</sup> 6	(7328.494)	1 <sup>-</sup> ,2 <sup>-</sup>	1309.32	(≤3)		
6027.52 3	84.1 <sup>h</sup> 9	(7328.494)	1 <sup>-</sup> ,2 <sup>-</sup>	1300.97	(≤3)		
6059.48 3	99.7 <sup>h</sup> 10	(7328.494)	1 <sup>-</sup> ,2 <sup>-</sup>	1269.01	(≤3 <sup>-</sup> )	(E1)	
6068.45 23	8.6 <sup>h</sup> 5	(7328.494)	1 <sup>-</sup> ,2 <sup>-</sup>	1260.04	(≤3)		
6083.85 19	8.5 <sup>h</sup> 4	(7328.494)	1 <sup>-</sup> ,2 <sup>-</sup>	1244.64	(≤3)		
x6098ea 3	40 <sup>h</sup>						I <sub><math>\gamma</math></sub> : from I <sub><math>\gamma</math></sub> (per 100 neutrons)=0.32 (1968Jo11).
x6114ea 3	20 <sup>h</sup>						I <sub><math>\gamma</math></sub> : from I <sub><math>\gamma</math></sub> (per 100 neutrons)=0.16 (1968Jo11).
6126.58 20	8.2 <sup>h</sup> 5	(7328.494)	1 <sup>-</sup> ,2 <sup>-</sup>	1201.91	(≤3)		
6142.79 4	50.4 <sup>h</sup> 5	(7328.494)	1 <sup>-</sup> ,2 <sup>-</sup>	1185.70	(≤3)		
6171.99 14	10.3 <sup>h</sup> 4	(7328.494)	1 <sup>-</sup> ,2 <sup>-</sup>	1156.50	1 <sup>+</sup>	(E1)	
6180.15 6	25.9 <sup>h</sup> 5	(7328.494)	1 <sup>-</sup> ,2 <sup>-</sup>	1148.34	(≤3)		
6203.57 6	44.5 <sup>h</sup> 5	(7328.494)	1 <sup>-</sup> ,2 <sup>-</sup>	1124.92	(≤3)		
6223.06 4	47.6 <sup>h</sup> 5	(7328.494)	1 <sup>-</sup> ,2 <sup>-</sup>	1105.43	(≤3)		

<sup>75</sup>As(n, $\gamma$ ) E=thermal 1990Ho10 (continued) $\gamma(^{76}\text{As})$  (continued)

$E_\gamma^\dagger$	$I_\gamma^\ddagger$	$E_i(\text{level})$	$J_i^\pi$	$E_f$	$J_f^\pi$	Mult. #	Comments
6231.25 5	40.6 <sup>h</sup> 4	(7328.494)	1 <sup>-</sup> ,2 <sup>-</sup>	1097.24	1 <sup>+</sup>		
6238.6 5	3.1 <sup>h</sup> 4	(7328.494)	1 <sup>-</sup> ,2 <sup>-</sup>	1089.9	(≤3)		
<sup>x</sup> 6255 <sup>ea</sup> 3	10 <sup>h</sup>						$I_\gamma$ : from $I_\gamma$ (per 100 neutrons)=0.08 (1968Jo11).
6266.38 <sup>f</sup> 15	9.7 <sup>h</sup> 5	(7328.494)	1 <sup>-</sup> ,2 <sup>-</sup>	1064.492	1 <sup>+</sup>		$E_\gamma$ : level-energy difference=6264.00.
6294.88 <sup>f</sup> 2	203.7 <sup>h</sup> 21	(7328.494)	1 <sup>-</sup> ,2 <sup>-</sup>	1034.263	1 <sup>+</sup>	(E1)	$E_\gamma$ : level-energy difference=6294.23.
6305.37 4	83.1 <sup>h</sup> 8	(7328.494)	1 <sup>-</sup> ,2 <sup>-</sup>	1023.12	(1 <sup>+</sup> ,2 <sup>+</sup> )		
6343.37 <sup>f</sup> 5	39.1 <sup>h</sup> 4	(7328.494)	1 <sup>-</sup> ,2 <sup>-</sup>	985.545	(1,2,3) <sup>+</sup>		$E_\gamma$ : level-energy difference=6342.95.
6357.58 8	20.1 <sup>h</sup> 4	(7328.494)	1 <sup>-</sup> ,2 <sup>-</sup>	970.93	(≤3)		
6364.4 3	5.8 <sup>h</sup> 5	(7328.494)	1 <sup>-</sup> ,2 <sup>-</sup>	964.1	(≤3)		
6370.04 7	26.9 <sup>h</sup> 5	(7328.494)	1 <sup>-</sup> ,2 <sup>-</sup>	958.394	(≤3)		
6380.65 24	5.6 <sup>h</sup> 5	(7328.494)	1 <sup>-</sup> ,2 <sup>-</sup>	947.84	(≤3)		
6388.96 9	32.3 <sup>h</sup> 10	(7328.494)	1 <sup>-</sup> ,2 <sup>-</sup>	939.750	(1,2,3)		
6393.37 <sup>f</sup> 4	85.4 <sup>h</sup> 9	(7328.494)	1 <sup>-</sup> ,2 <sup>-</sup>	935.384	1 <sup>+</sup>		$E_\gamma$ : level-energy difference=6393.11.
6403.80 3	79.3 <sup>h</sup> 8	(7328.494)	1 <sup>-</sup> ,2 <sup>-</sup>	924.754	(≤3 <sup>-</sup> )	(E1)	
6419.41 4	69.0 <sup>h</sup> 7	(7328.494)	1 <sup>-</sup> ,2 <sup>-</sup>	909.169	(1,2) <sup>+</sup>		
6433.9 11	2.3 <sup>h</sup> 11	(7328.494)	1 <sup>-</sup> ,2 <sup>-</sup>	893.811	(1 <sup>-</sup> ,2 <sup>-</sup> ,3 <sup>+</sup> )	(E1)	
6465.13 13	34.9 <sup>h</sup> 14	(7328.494)	1 <sup>-</sup> ,2 <sup>-</sup>	863.36	1 <sup>+</sup>		
6526.21 10	12.1 <sup>h</sup> 4	(7328.494)	1 <sup>-</sup> ,2 <sup>-</sup>	802.452	(1 <sup>-</sup> ,2 <sup>-</sup> ,3 <sup>+</sup> )		
6535.03 5	31.1 <sup>h</sup> 3	(7328.494)	1 <sup>-</sup> ,2 <sup>-</sup>	793.570	(1,2,3) <sup>+</sup>		
6542.76 4	40.1 <sup>h</sup> 4	(7328.494)	1 <sup>-</sup> ,2 <sup>-</sup>	785.833	(≤3 <sup>+</sup> )		
6554.09 21	5.4 <sup>h</sup> 4	(7328.494)	1 <sup>-</sup> ,2 <sup>-</sup>	774.408	(3) <sup>+</sup>		
6572.6 4	3.7 <sup>h</sup> 4	(7328.494)	1 <sup>-</sup> ,2 <sup>-</sup>	756.5743	(0 <sup>+</sup> ,3 <sup>+</sup> )		
6584.23 <sup>f</sup> 13	46.0 <sup>h</sup> 23	(7328.494)	1 <sup>-</sup> ,2 <sup>-</sup>	744.945	(1 <sup>+</sup> ,2 <sup>+</sup> )	(E1)	$E_\gamma$ : level-energy difference=6583.55.
6588.12 <sup>f</sup> 13	44.1 <sup>h</sup> 22	(7328.494)	1 <sup>-</sup> ,2 <sup>-</sup>	741.464	(≤3)		$E_\gamma$ : level-energy difference=6587.03.
6600.73 5	36.6 <sup>h</sup> 4	(7328.494)	1 <sup>-</sup> ,2 <sup>-</sup>	727.76	(≤3)		
6612.7 9	2.4 <sup>h</sup> 5	(7328.494)	1 <sup>-</sup> ,2 <sup>-</sup>	715.8	(1,2,3) <sup>+</sup>		
6620.61 8	29.9 <sup>h</sup> 6	(7328.494)	1 <sup>-</sup> ,2 <sup>-</sup>	707.88	(≤3)		
6640.9 <sup>f</sup> 3	4.9 <sup>h</sup> 4	(7328.494)	1 <sup>-</sup> ,2 <sup>-</sup>	686.128	(1 <sup>-</sup> to 4)		$E_\gamma$ : level-energy difference=6642.4.
6659.45 7	22.3 <sup>h</sup> 4	(7328.494)	1 <sup>-</sup> ,2 <sup>-</sup>	669.114	(1 <sup>+</sup> ,2 <sup>+</sup> )		
6690.83 <sup>f</sup> 8	24.2 <sup>h</sup> 5	(7328.494)	1 <sup>-</sup> ,2 <sup>-</sup>	637.248	(1 <sup>+</sup> ,2 <sup>+</sup> )		$E_\gamma$ : level-energy difference=6691.25.
6699.48 17	10.7 <sup>h</sup> 4	(7328.494)	1 <sup>-</sup> ,2 <sup>-</sup>	628.7452	(1 <sup>+</sup> ,2 <sup>+</sup> )		
6719.72 <sup>f</sup> 17	9.9 <sup>h</sup> 4	(7328.494)	1 <sup>-</sup> ,2 <sup>-</sup>	609.970	(3 <sup>+</sup> )		$E_\gamma$ : level-energy difference=6718.52.
6728.31 25	8.3 <sup>h</sup> 4	(7328.494)	1 <sup>-</sup> ,2 <sup>-</sup>	600.2	(≤3)		

<sup>75</sup>As(n, $\gamma$ ) E=thermal 1990Ho10 (continued) $\gamma(^{76}\text{As})$  (continued)

$E_\gamma^\dagger$	$I_\gamma^\ddagger$	$E_i(\text{level})$	$J_i^\pi$	$E_f$	$J_f^\pi$	Mult. <sup>#</sup>	Comments
6777.91 13	14.1 <sup>h</sup> 6	(7328.494)	1 <sup>-</sup> ,2 <sup>-</sup>	550.4350	(1 <sup>-</sup> ,2 <sup>-</sup> )		
6784.42 6	35.1 <sup>h</sup> 7	(7328.494)	1 <sup>-</sup> ,2 <sup>-</sup>	544.0231	(2) <sup>-</sup>		
6810.55 <sup>f</sup> 1	553 <sup>h</sup> 6	(7328.494)	1 <sup>-</sup> ,2 <sup>-</sup>	517.5784	(1 <sup>+</sup> ,2 <sup>+</sup> )	(E1)	$E_\gamma$ : level-energy difference=6810.92.
6822.13 <sup>f</sup> 17	13.1 <sup>h</sup> 5	(7328.494)	1 <sup>-</sup> ,2 <sup>-</sup>	505.2046	(2,3) <sup>+</sup>		$E_\gamma$ : level-energy difference=6823.29.
6828.67 13	15.8 <sup>h</sup> 5	(7328.494)	1 <sup>-</sup> ,2 <sup>-</sup>	499.5801	(1 <sup>+</sup> ,2 <sup>+</sup> )		
6857.62 14	16.5 <sup>h</sup> 7	(7328.494)	1 <sup>-</sup> ,2 <sup>-</sup>	471.0004	(2) <sup>-</sup>		
6881.38 9	15.9 <sup>h</sup> 5	(7328.494)	1 <sup>-</sup> ,2 <sup>-</sup>	447.1702	(1,2) <sup>+</sup>		
6892.8 5	2.4 <sup>h</sup> 4	(7328.494)	1 <sup>-</sup> ,2 <sup>-</sup>	436.8029	(1,2,3) <sup>-</sup>		
6926.64 2	183 <sup>h</sup> 2	(7328.494)	1 <sup>-</sup> ,2 <sup>-</sup>	401.8324	(1,2) <sup>+</sup>	(E1)	
6952 <sup>ak</sup> 3	5 <sup>h</sup>	(7328.494)	1 <sup>-</sup> ,2 <sup>-</sup>	377.3841	(2) <sup>-</sup>		$I_\gamma$ : from $I_\gamma$ (per 100 neutrons)=0.04 (1968Jo11).
6965.35 <sup>f</sup> 20	4.7 <sup>h</sup> 5	(7328.494)	1 <sup>-</sup> ,2 <sup>-</sup>	363.9060	(2) <sup>-</sup>		$E_\gamma$ : level-energy difference=6964.59.
6976.16 4	47.0 <sup>h</sup> 5	(7328.494)	1 <sup>-</sup> ,2 <sup>-</sup>	352.3617	(3) <sup>-</sup>		
6999.8 6	2.2 <sup>h</sup> 4	(7328.494)	1 <sup>-</sup> ,2 <sup>-</sup>	328.4784	(3,4) <sup>-</sup>		
7020.15 1	373 <sup>h</sup> 4	(7328.494)	1 <sup>-</sup> ,2 <sup>-</sup>	308.3197	(2) <sup>+</sup>	(E1)	
7028.19 4	52.5 <sup>h</sup> 5	(7328.494)	1 <sup>-</sup> ,2 <sup>-</sup>	300.4601	(2,3) <sup>+</sup>		
7048 <sup>ak</sup> 3	10 <sup>h</sup>	(7328.494)	1 <sup>-</sup> ,2 <sup>-</sup>	280.3021	(1,2) <sup>+</sup>		$I_\gamma$ : from $I_\gamma$ (per 100 neutrons)=0.08 (1968Jo11).
7063.67 2	145 <sup>h</sup> 2	(7328.494)	1 <sup>-</sup> ,2 <sup>-</sup>	264.8065	1 <sup>+</sup>	(E1)	
7129 <sup>ak</sup> 3	3.7 <sup>h</sup>	(7328.494)	1 <sup>-</sup> ,2 <sup>-</sup>	203.5420	(0,1) <sup>+</sup>		$I_\gamma$ : from $I_\gamma$ (per 100 neutrons)=0.03 (1968Jo11).
7163.49 8	17.8 <sup>h</sup> 4	(7328.494)	1 <sup>-</sup> ,2 <sup>-</sup>	165.0484	(3) <sup>-</sup>		
x7179 <sup>ea</sup> 3	5 <sup>h</sup>						$I_\gamma$ : from $I_\gamma$ (per 100 neutrons)=0.04 (1968Jo11).
7207.56 <sup>f</sup> 11	12.5 <sup>h</sup> 4	(7328.494)	1 <sup>-</sup> ,2 <sup>-</sup>	120.2581	1 <sup>+</sup>		$E_\gamma$ : level-energy difference=7208.24.
7241.60 3	61.4 <sup>h</sup> 6	(7328.494)	1 <sup>-</sup> ,2 <sup>-</sup>	86.7875	1 <sup>+</sup>	(E1)	
7284.10 2	100 <sup>h</sup> 1	(7328.494)	1 <sup>-</sup> ,2 <sup>-</sup>	44.4254	(1) <sup>+</sup>	(E1)	
7328.6 3	4.2 <sup>h</sup> 4	(7328.494)	1 <sup>-</sup> ,2 <sup>-</sup>	0.0	2 <sup>-</sup>		

<sup>†</sup> From 1990Ho10, unless otherwise stated. The values are transition energies, corrected for recoil, and with statistical uncertainties. Authors mention calibration uncertainty of 10 parts per million, which amounts to  $\approx 0.08$  keV at  $E\gamma=7$  MeV, and  $\approx 1$  eV at  $E\gamma=100$  keV.

<sup>‡</sup> From 1990Ho10, unless otherwise stated. For primary  $\gamma$  rays, values are relative intensities and for secondary  $\gamma$  rays, values are per 100 neutron captures. Quoted uncertainties are statistical only. Below 5510, all the unplaced transitions are included in the category of secondary  $\gamma$  rays. The intensities for primary transitions given by 1968Jo11 are per 100 neutron captures. The relative values given by 1990Ho10, when divided by a factor of  $\approx 125$  give values close to those given by 1968Jo11.

<sup>#</sup> For secondary transitions, assignments are deduced from ce data (1990Ho10). The transition is assumed as M1+E2 rather than E1+M2 when CE data give  $\delta(M2/E1) > 0.1$ . For primary transition the assignment is from:  $I_\gamma(\text{thermal})/I_\gamma(\text{epithermal})$  and  $I_\gamma(\text{epithermal})/E\gamma^3$  (1969Gr09).

<sup>75</sup>As(n, $\gamma$ ) E=thermal    **1990Ho10** (continued)

$\gamma$ (<sup>76</sup>As) (continued)

<sup>a</sup> From 1965Wh01.

<sup>&</sup> From 1968Jo11.

<sup>b</sup> From 1968Jo11 only. Treated as questionable (by evaluators) since the deduced relative intensities seems too large to have missed detection by 1990Ho10.

<sup>c</sup>  $\gamma$  ray is reported only by 1968Jo11. It is treated as uncertain since it is not confirmed in the later studies.

<sup>d</sup> Fitted value deviates by 0.057 keV.

<sup>e</sup> Fitted value deviates by 0.11 keV.

<sup>f</sup> Uncertain  $\gamma$  ray assignment.

<sup>g</sup> Poor fit in the level scheme.

<sup>h</sup> For secondary  $\gamma$  ray, intensity is per 100 n-captures.

<sup>i</sup> For primary  $\gamma$  ray, intensity is relative to 100 for  $7284\gamma$ .

<sup>j</sup> Total theoretical internal conversion coefficients, calculated using the BrIcc code (2008Ki07) with Frozen orbital approximation based on  $\gamma$ -ray energies, assigned multipolarities, and mixing ratios, unless otherwise specified.

<sup>k</sup> Multiply placed with undivided intensity.

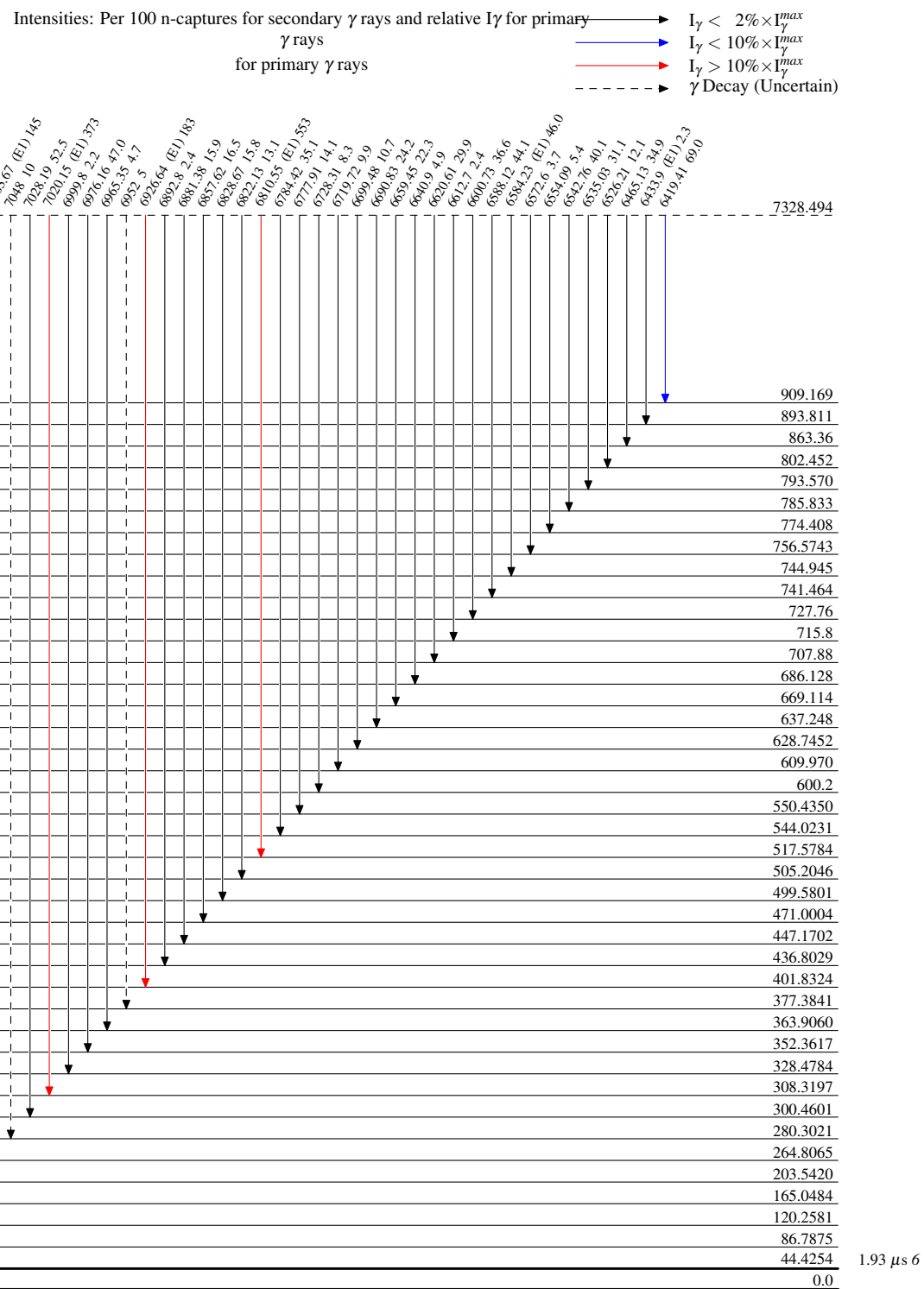
<sup>l</sup> Placement of transition in the level scheme is uncertain.

<sup>x</sup>  $\gamma$  ray not placed in level scheme.

$^{75}\text{As}(n,\gamma)$  E=thermal 1990Ho10

## Level Scheme

## Legend



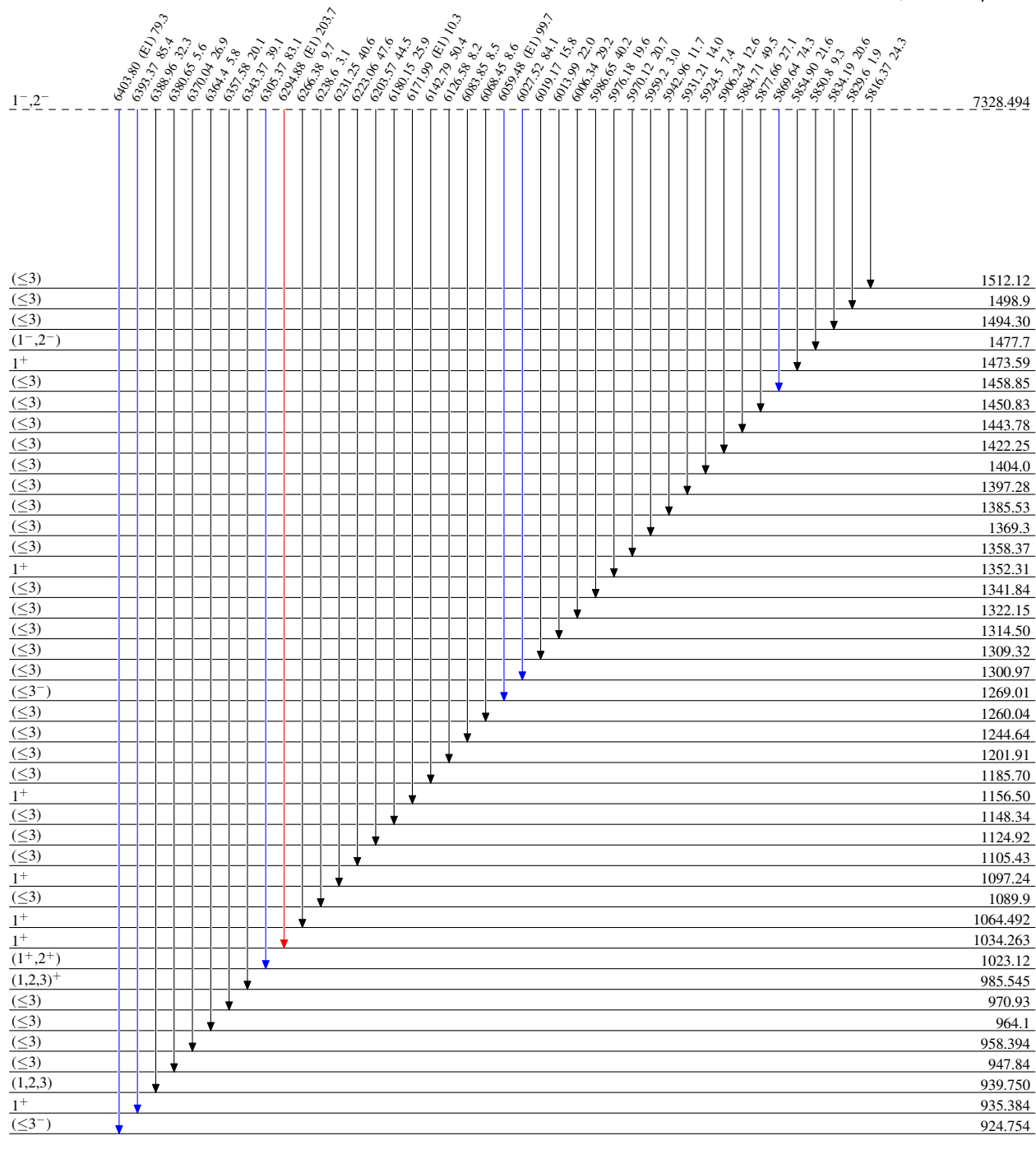
$^{75}\text{As}(\text{n},\gamma)$  E=thermal 1990Ho10

## Level Scheme (continued)

## Legend

Intensities: Per 100 n-captures for secondary  $\gamma$  rays and relative  $I\gamma$  for primary $\gamma$  raysfor primary  $\gamma$  rays

- $\longrightarrow$   $I\gamma < 2\% \times I_{\gamma}^{\max}$
- $\xrightarrow{\quad}$   $I\gamma < 10\% \times I_{\gamma}^{\max}$
- $\xrightarrow{\quad}$   $I\gamma > 10\% \times I_{\gamma}^{\max}$



$^{75}\text{As}(\text{n},\gamma)$  E=thermal 1990Ho10

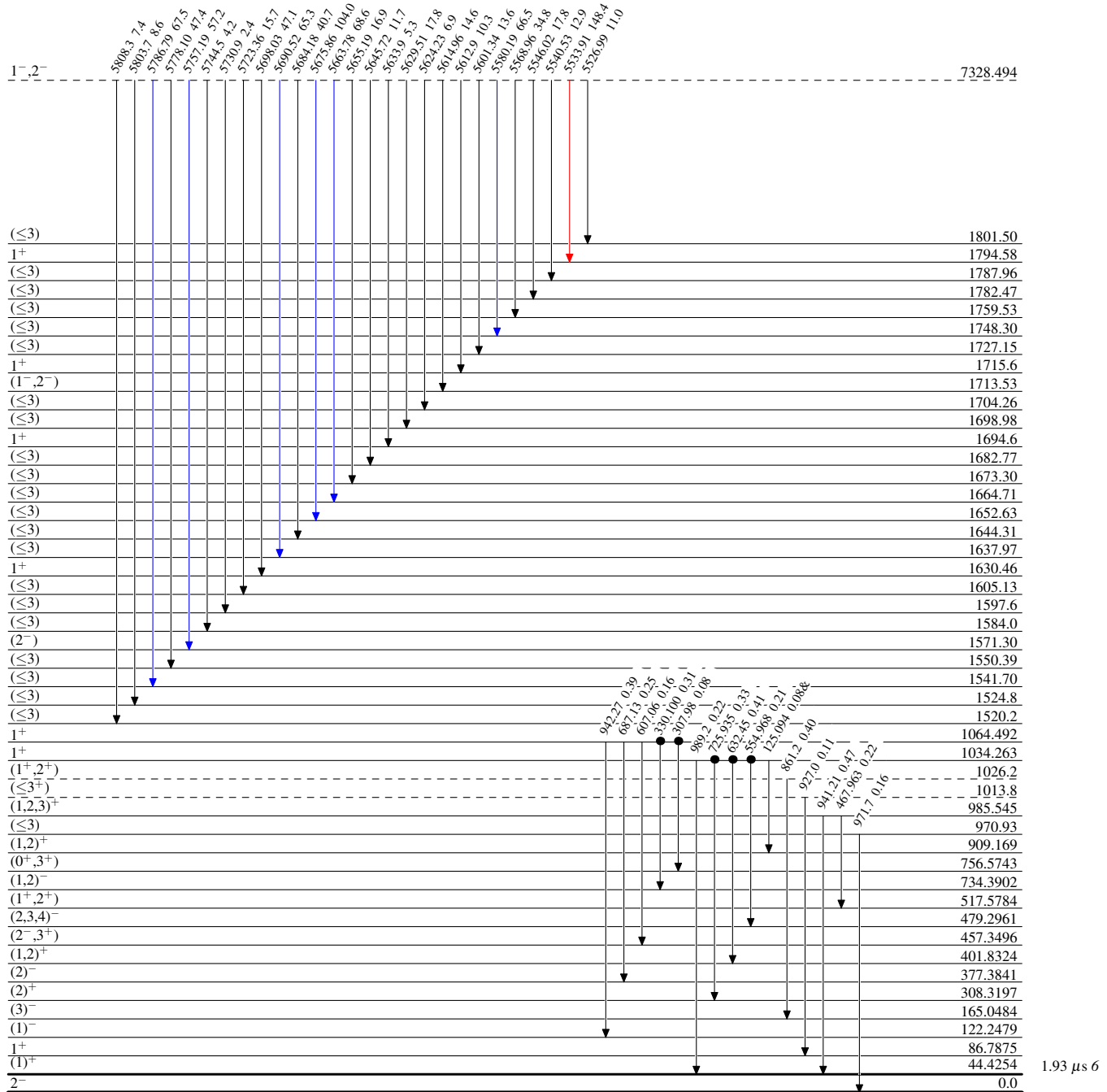
## Level Scheme (continued)

## Legend

Intensities: Per 100 n-captures for secondary  $\gamma$  rays and relative  $I_\gamma$  for primary $\gamma$  raysfor primary  $\gamma$  rays

&amp; Multiply placed: undivided intensity given

- $\longrightarrow$   $I_\gamma < 2\% \times I_{\gamma}^{\max}$
- $\longrightarrow$   $I_\gamma < 10\% \times I_{\gamma}^{\max}$
- $\longrightarrow$   $I_\gamma > 10\% \times I_{\gamma}^{\max}$
- Coincidence



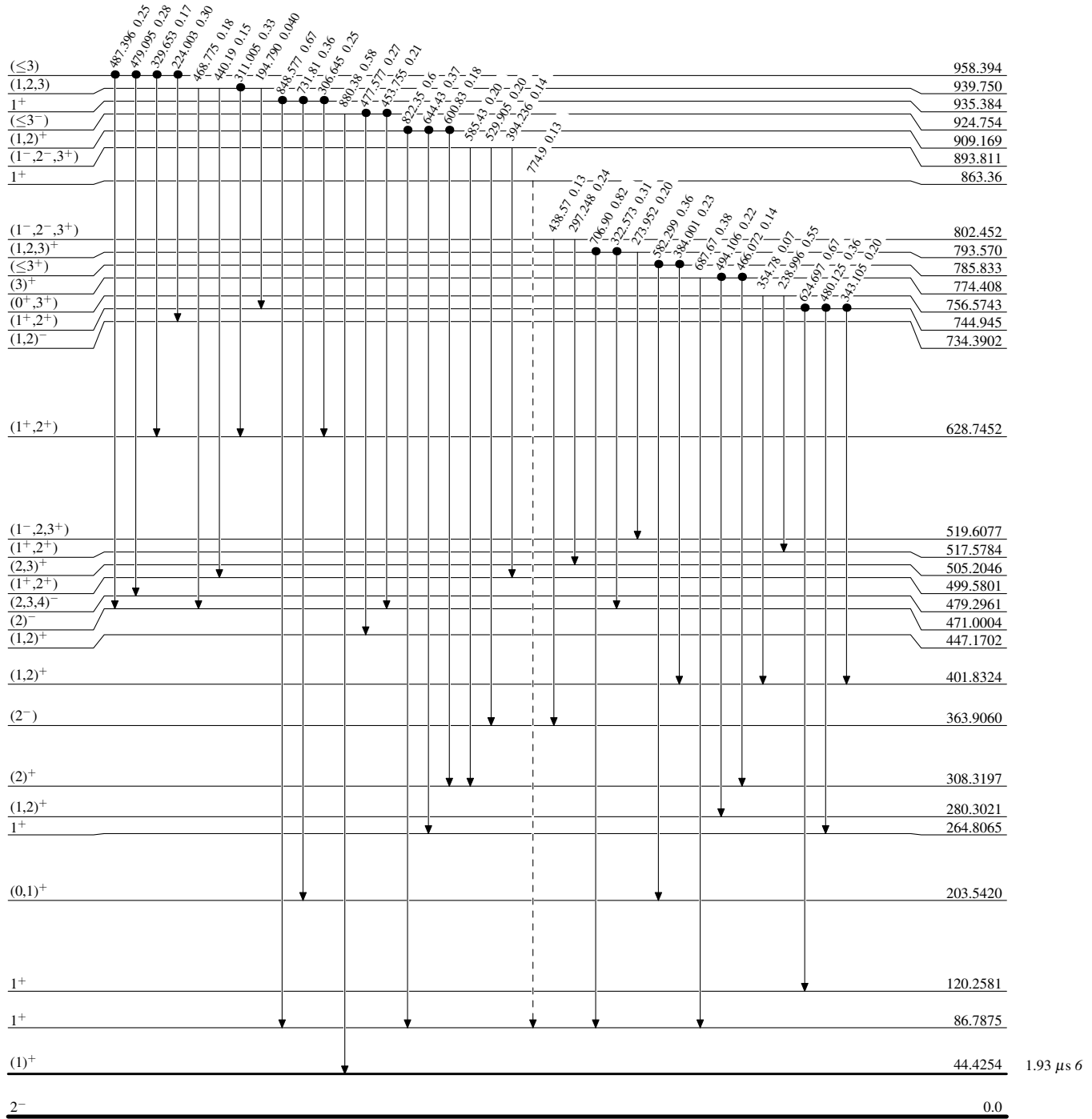
$^{75}\text{As}(\text{n},\gamma)$  E=thermal 1990Ho10

## Level Scheme (continued)

## Legend

Intensities: Per 100 n-captures for secondary  $\gamma$  rays and relative  $I\gamma$  for primary  $\gamma$  rays  
 for primary  $\gamma$  rays  
 & Multiply placed: undivided intensity given

- $\rightarrow$   $I\gamma < 2\% \times I_{\gamma}^{\max}$
- $\longrightarrow$   $I\gamma < 10\% \times I_{\gamma}^{\max}$
- $\Rightarrow$   $I\gamma > 10\% \times I_{\gamma}^{\max}$
- $\dashrightarrow$   $\gamma$  Decay (Uncertain)
- Coincidence



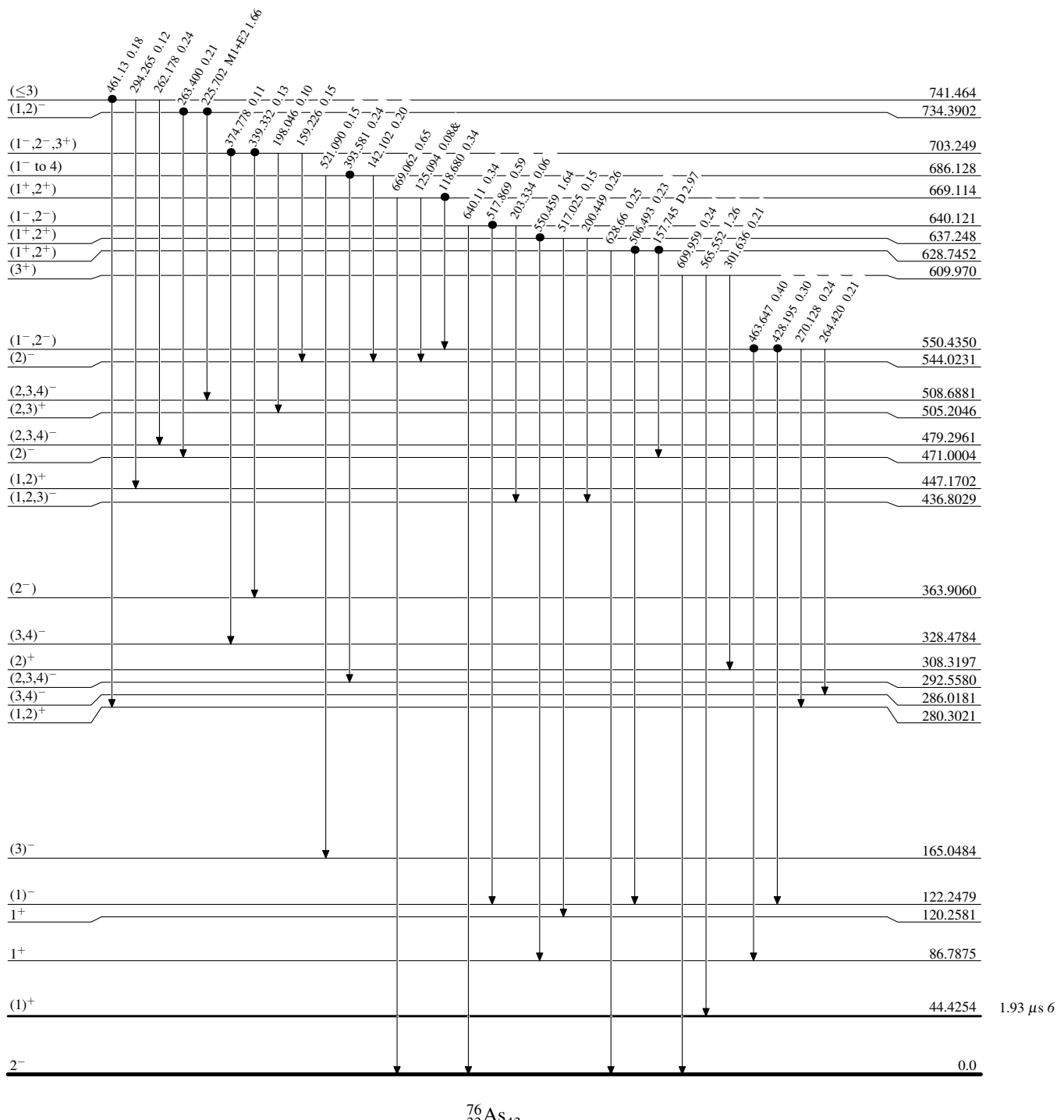
$^{75}\text{As}(\text{n},\gamma)$  E=thermal 1990Ho10

## Level Scheme (continued)

Intensities: Per 100 n-captures for secondary  $\gamma$  rays and relative  $I_\gamma$  for primary  
 $\gamma$  rays  
for primary  $\gamma$  rays  
& Multiply placed: undivided intensity given

## Legend

- $\longrightarrow$   $I_\gamma < 2\% \times I_{\gamma}^{\max}$
- $\longrightarrow$   $I_\gamma < 10\% \times I_{\gamma}^{\max}$
- $\longrightarrow$   $I_\gamma > 10\% \times I_{\gamma}^{\max}$
- Coincidence



$^{75}\text{As}(\text{n},\gamma)$  E=thermal 1990Ho10

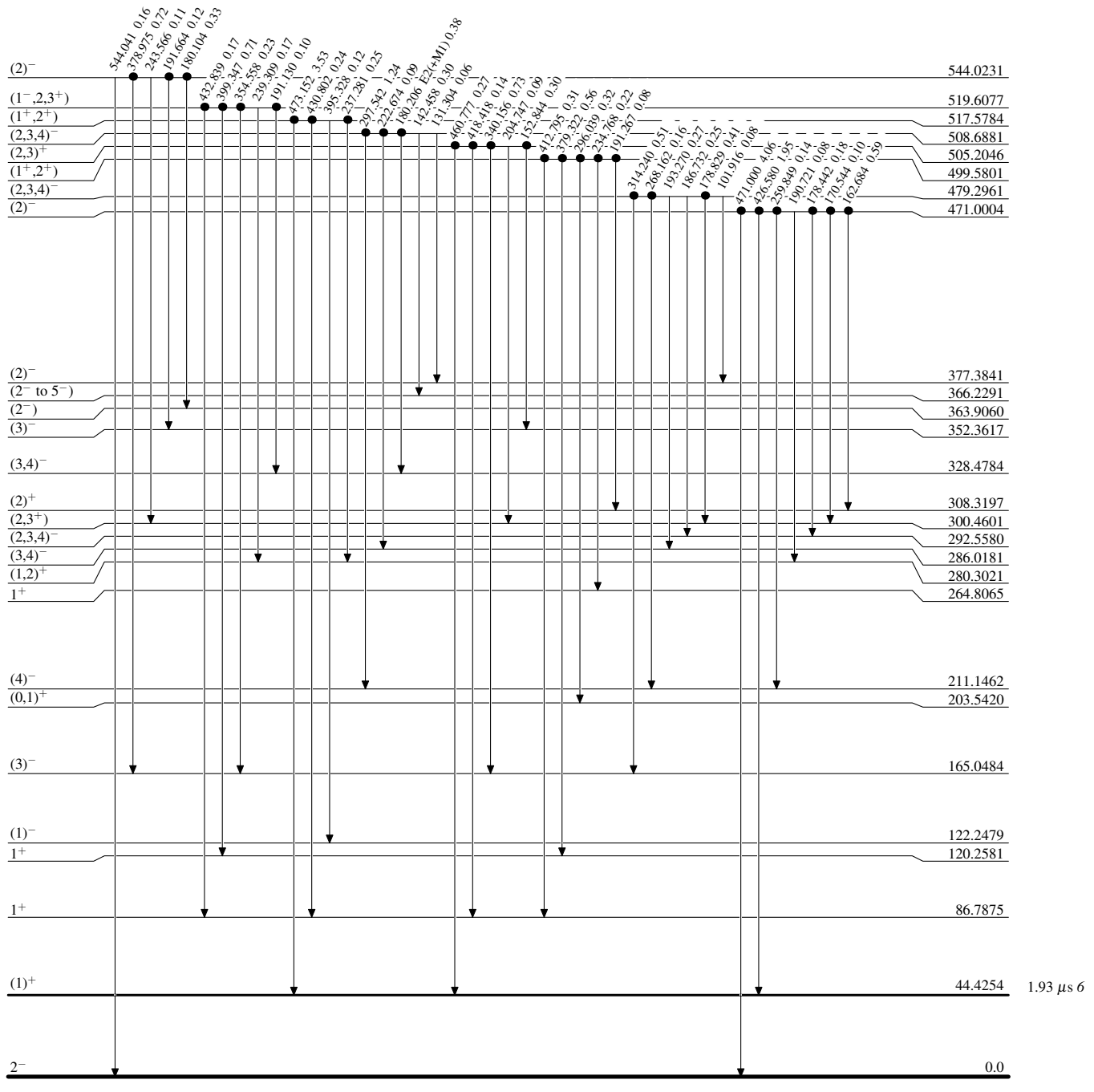
## Level Scheme (continued)

## Legend

Intensities: Per 100 n-captures for secondary  $\gamma$  rays and relative  $I_\gamma$  for primary $\gamma$  raysfor primary  $\gamma$  rays

&amp; Multiply placed: undivided intensity given

- $\longrightarrow$   $I_\gamma < 2\% \times I_{\gamma}^{\max}$
- $\longrightarrow$   $I_\gamma < 10\% \times I_{\gamma}^{\max}$
- $\longrightarrow$   $I_\gamma > 10\% \times I_{\gamma}^{\max}$
- Coincidence



$^{75}\text{As}(\text{n},\gamma)$  E=thermal 1990Ho10

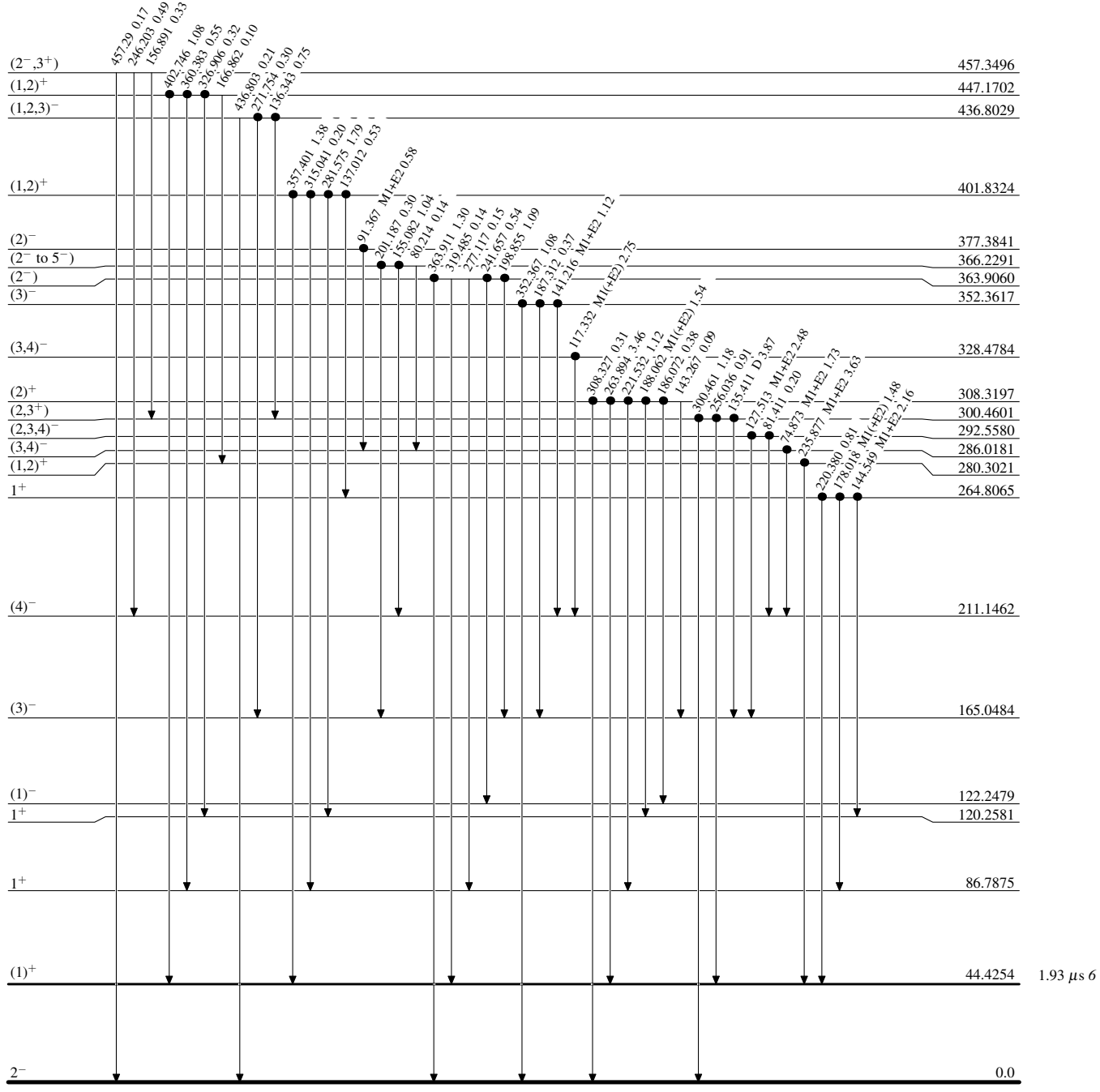
## Level Scheme (continued)

## Legend

Intensities: Per 100 n-captures for secondary  $\gamma$  rays and relative  $I_\gamma$  for primary $\gamma$  raysfor primary  $\gamma$  rays

&amp; Multiply placed: undivided intensity given

- $\longrightarrow$   $I_\gamma < 2\% \times I_{\gamma}^{\max}$
- $\longrightarrow$   $I_\gamma < 10\% \times I_{\gamma}^{\max}$
- $\longrightarrow$   $I_\gamma > 10\% \times I_{\gamma}^{\max}$
- Coincidence



$^{75}\text{As}(\text{n},\gamma)$  E=thermal 1990Ho10

## Level Scheme (continued)

